





# MARSEILLE (13) Eglise Saint Joseph

## Etat des lieux - Diagnostic structurel

# Plafond de l'église et planchers du presbytère

Indice 0

<u>Maître d'ouvrage</u>: Mairie de Marseille Maitre d'œuvre:

ARCHITEKT-ON 64 rue du Président Herriot 69002 LYON

Rédacteur : Armand Thomas

Vérificateur : Éric Merlin

29 septembre 2017



# **SOMMAIRE**

| . OBJET DE L'ETUDE                                  | 3  |
|---|----|
| I. PRESENTATION DE L'OUVRAGE ET DU CONTEXTE         | 4  |
| A. Description succincte de l'ouvrage               | 4  |
| B. Historique                                       | 6  |
| C. Contexte de l'étude                              |    |
| Aspect structurel                                   |    |
| 2. Etat sanitaire                                   | 7  |
| II. HYPOTHESES DE L'ETUDE                           | 8  |
| A. Hypothèses sur les matériaux                     | 8  |
| B. Calculs des flèches                              | 9  |
| C. Hypothèses de calculs                            |    |
| 1. Charges permanentes                              |    |
| Charge d'exploitation sur plancher                  |    |
| <ol><li>Charges d'exploitation en toiture</li></ol> |    |
| 4. Charges climatiques                              |    |
| 5. Charges sismiques                                | 12 |
| V. DIAGNOSTIC DES PLANCHERS DU PRESBYTERE NORD      | 13 |
| A. Planchers hauts du rez-de-chaussée               |    |
| Salle 1.2 dite salle cinéma                         |    |
| 2. Salle 1.4  | 20 |
| 3. Salle 1.5 presbytère                             | 26 |
| B. Planchers hauts du premier étage                 |    |
| 1. Salle 2.4  | 30 |
| 2. Salle 2.39                                       | 34 |
| 1. Salles 2.12 et 2.14                              | 37 |
| C. Synthèse du diagnostic                           | 42 |
| V. DIAGNOSTIC DES PLAFONDS DE L'EGLISE              | 44 |
| A. Nef de l'église                                  | 44 |
| 1. Charpentes de la nef                             | 44 |
| Ossatures support des plafonds                      | 48 |
| B. Bas-côtés  | 50 |
| 1. Charpentes des bas-côtés                         | 50 |
| Ossatures support des plafonds des bas-côtés        |    |
| C. Synthèse du diagnostic                           | 57 |
| VI. ORIENTATION DU PROJET DE CONSOLIDATION          | 59 |
| A. Planchers du Presbytère                          | 59 |
| B. Plafonds de l'église                             | 59 |



#### I. OBJET DE L'ETUDE

La présente étude, réalisée pour le compte de la ville de Marseille, a pour objet le diagnostic structurel des plafonds de l'Eglise Saint Joseph et des planchers du presbytère Nord associé, situés rue Paradis à Marseille (13).

Ce diagnostic constitue un état des lieux des structures porteuses bois avec l'analyse plus approfondie des planchers présentant des altérations. Les charpentes de l'église font l'objet du second chapitre de ce diagnostic.

Ce diagnostic se base sur nos visites de l'ouvrage effectuées le 26 juin 2017 et 13 septembre 2017.



Photo 1 Vue aérienne de la paroisse Saint Joseph



#### II. PRESENTATION DE L'OUVRAGE ET DU CONTEXTE

#### A. <u>Description succincte de l'ouvrage</u>

L'Eglise Saint Joseph se situe au 124 rue du Paradis à Marseille (13).



Figure 1: Vue en plan (extrait Google Earth)

De forme rectangulaire, le bâtiment principal se compose d'un seul RDC avec des combles accessibles. Les charpentes du bâtiment (nef et bas-côtés) supportent à la fois les couvertures et les plafonds en caisson.

Le presbytère rattaché à l'ouest de l'église est de type R + 2. Il abrite principalement des locaux à usage d'habitation.



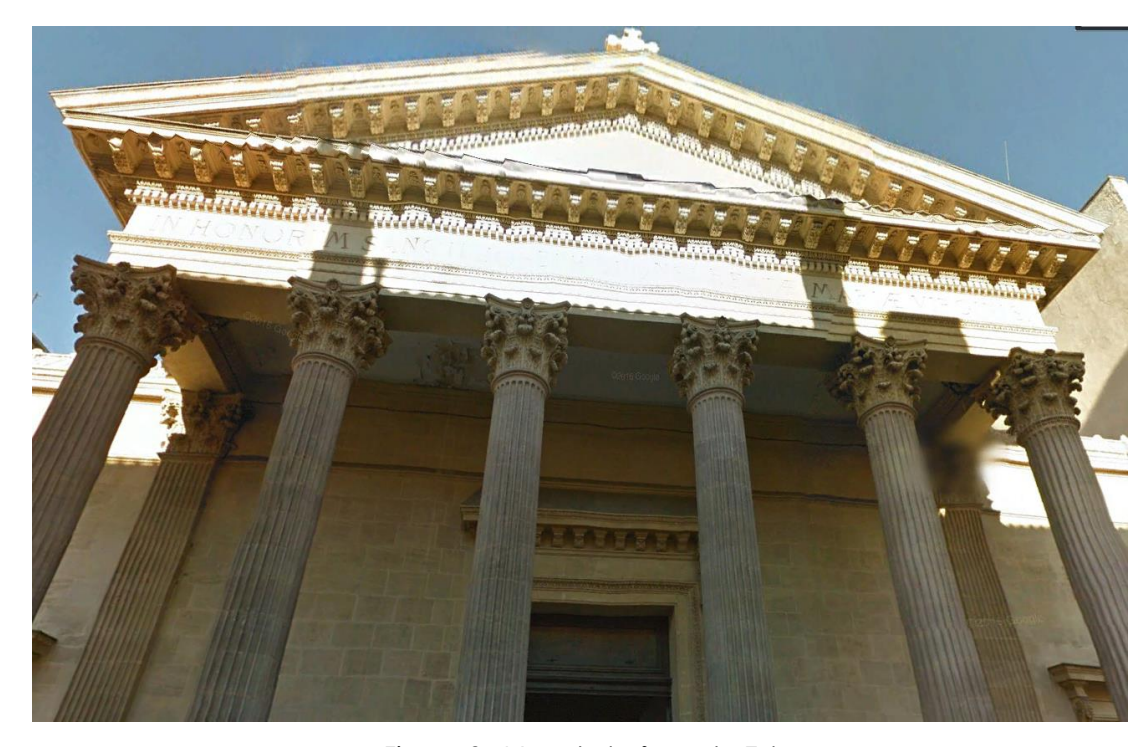


Figure 2 : Vue de la façade Est

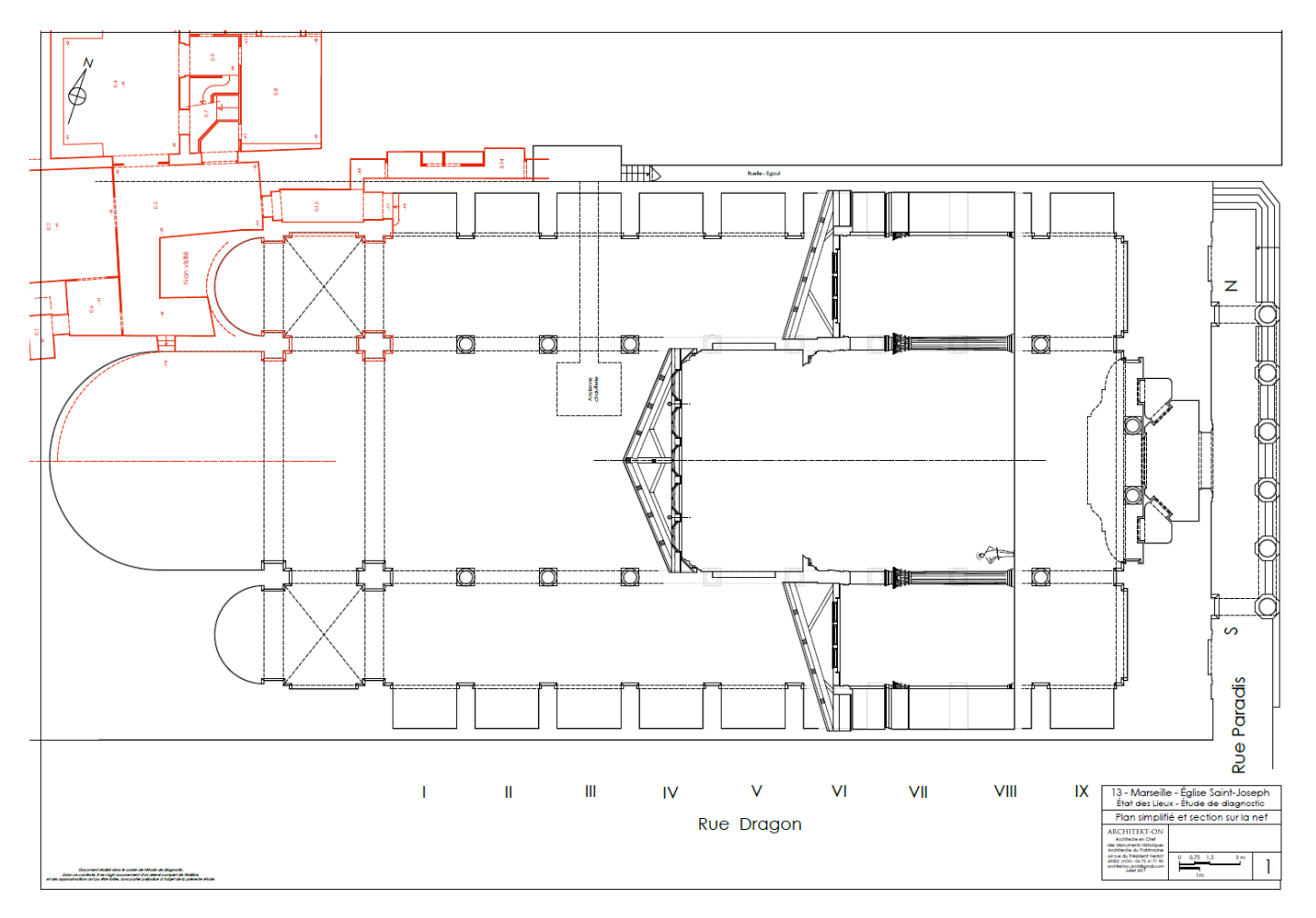


Figure 3 Vue en plan de l'Eglise (extrait plans Architekt-on)



#### B. Historique

L'église Saint-Joseph a été édifiée en 1837-1864 sur les plans de Pascal Coste et sous la direction de Vincent Barral, tous deux architectes et élèves de M.-R. Penchaud. Il s'agit d'une église de type basilical, dont la façade est terminée en 1864 par l'architecte Ferrié sur les dessins de Coste. En 1868, Henry Espérandieu reconstruit la tribune destinée à recevoir le grand orque Cavaillé-Coll et réalise le plafond à caissons de la nef.

Chronologie sommaire:

1837-1864: construction sur les plans de Pascal Coste

1868 : construction de la nouvelle tribune et du plafond à caissons de la nef

1925 : achèvement du décor des nefs latérales et des chapelles

Cet édifice a été classé au titre des Monuments Historiques le 9 février 1999

#### C. Contexte de l'étude

#### 1. Aspect structurel

Des problèmes structuraux sont apparus à l'intérieur de l'église durant l'été 2015.

Dans les bas-côtés de la nef, des morceaux de plâtre se sont détachés du faux plafond, une partie du plafond suspendu à caissons a cédé et des déplacements de poutres de charpentes ont été constatés.

Dans la sacristie, le plancher s'est effondré partiellement au premier étage.

Dans les deux cas, le mauvais état de la couverture, refaite depuis, est à l'origine d'infiltrations qui ont contribué à la dégradation de ces ouvrages.

Toutes les mesures pour assurer la sécurité des personnes ont été prises dans l'attente d'être en capacité de déterminer l'origine des désordres, leur gravité et d'évaluer les travaux de restauration à engager pour y remédier.

Le diagnostic réalisé par l'APAVE en date du 10-9-15 a été établi sur un examen visuel des plafonds suspendus, du fait de la hauteur des plafonds et de l'accès difficile et dangereux des plénums.

Ce diagnostic n'a pas permis de déterminer les causes des désordres observés.

De plus, l'accès de l'église a été interdit au public le 1 er septembre 2016 en raison de l'évolution des désordres mettant en péril la sécurité des personnes (cf rapport Apave du 24-08-2016).



## 2. Etat sanitaire

Les constats de l'état parasitaire réalisés par ALCYON le 27-02-2015 et le 12-07-2016 concluent à la présence de dégradations dans le bois dues à des petites vrillettes, à des agents de pourriture cubique et à la présence de dégradations dues au Capricorne des maisons.



## III. HYPOTHESES DE L'ETUDE

## A. Hypothèses sur les matériaux

Les bois sont considérés pour l'ensemble des ouvrages être de type résineux et de classe C22. Nous retenons les caractéristiques décrites dans le tableau suivant (extrait de l'EN 338) :

|   |                                       |                               |  |                              |                                 |                             | Résineux                      | eg.               |                              |                                |                                  |                             | -                            |                                 |                            |                          | Feullius          | 2          |   |                 |            |
|---|---------------------------------------|-------------------------------|--|------------------------------|---------------------------------|-----------------------------|-------------------------------|-------------------|------------------------------|--------------------------------|----------------------------------|-----------------------------|------------------------------|---------------------------------|----------------------------|--------------------------|-------------------|------------|---|-----------------|------------|
|   |                                       | C14                           | C16  | C18                          | ಜ                               | C22                         | C24                           | C27               | 080                          | 582                            | C40                              | C45                         | C50                          | D18                             | D24 D                      | D30 D                    | 035 D             | D40        | 020 D                                       | 090             | 070        |
| Propriétés de résistance (en N/mm²)   | /mm²)                                 |                               |  |                              |                                 |                             |                               |                   |                              |                                |                                  |                             |                              |                                 |                            |                          |                   |            |   |                 |            |
| Flexion   | fm,k                                  | 14                            | 16   | 18                           | 8                               | 22                          | 24                            | 27                | 30                           | 38                             | 04                               | 45                          | 09                           | 18                              | 24                         | 08                       | 35 4              | 9          | 9 09  | 8               | 02         |
| Traction axiale   | f.0.k                                 | 80                            | 9  | Ξ                            | 4                               | 13                          | 4                             | 16                | 18                           | -21                            | 54                               | - 22                        | 98                           | =                               | 4                          | 18                       | 21                |            | 30  | 8               | 42         |
| Traction transversale   | 1,90.k                                | 0,4                           | 0,4  | 0,4                          | 0,4                             | 0,4                         | 0,4                           | 0,4               | 4.0                          | 4.0                            | 4,0                              | 0,4                         | 0,4                          | 9.0                             | 0,6                        | 0,6                      | 0,6               | 0.6        | 0,6   | 9.0             | 9,0        |
| Compression axiale  | 1,0.0,k                               | 16                            | 17   | 18                           | 19                              | 20                          | 5                             | 22                | 53                           | 52                             | 56                               | - 22                        | 59                           | - 8                             | 27                         | 23                       | 55                |            | 59  | 8               | 34         |
| Compression transversale  | 1,06,9                                | 2.0                           | 2,2  | 2,2                          | 2.3                             | 2.4                         | 2.5                           | 5,6               | 2.7                          | 5.8                            | 2.9                              | 3,1                         | 3.2                          | 2                               | 8 8.7                      | 8.0                      | 8.1               | <br>6.9    | 9,3   | 10,5            | 13.5       |
| Cisaillement  | 1,v,k                                 | 3,0                           | 3,2  | 3,4                          | 3,6                             | 3,8                         | 4.0                           | 4.0               | 4.0                          | 4.0                            | 4.0                              | 4.0                         | 4.0                          | 3,4                             | 4.0                        | 4.0                      | 4.0 4             | 4.0        | 4.0   | 5.5             | 5.0        |
| Propriétés de rigidité (en kN/mm²)  | m²)                                   |                               |  |                              |                                 |                             |                               |                   |                              |                                |                                  |                             |                              |                                 |                            |                          |                   |            |   |                 |            |
| Module moyen d'élasticité<br>axiale   | E <sub>0,mean</sub>                   | _                             | 80   | 6                            | 9.5                             | 5                           | =                             | 11.5              | 5                            | 13                             | 4                                | īč.                         | 91                           | 5,6                             | 0                          | =                        | 12                | 13         | 4   | 17              | 80         |
| Module d'élasticité axiale (au 5º percentile)   | E <sub>0.05</sub>                     | 4.7                           | 5.4  | 6.0                          | 6.4                             | 6.7                         | 7.4                           | 7.7               | 8.0                          | 8.7                            | 9.4                              | 10.0                        | 10.7                         | <br>8                           | 6.5                        | 9.2                      | 10,1              | 10.9       | 1.8   | 14.3            | 16.8       |
| Module moyen d'élasticité<br>transversale   | Е90,теап                              | 0.23                          | 0,27   | 0,30                         | 0,32                            | 0,33                        | 0,37                          | 0,38              | 0,40                         | 0,43                           | 0,47 0                           | 0,50                        | 0,53                         | 0,63                            | 0.67 0,                    | 0,73 0,                  | 08'0              | 0,86 0,    | 0.93  | 1,13            | 1,33       |
| Module moyen de cisaillement  | Gmean                                 | 0,44                          | 9,0  | 95'0                         | 65'0                            | 0,63                        | 69'0                          | 0,72              | 0,75                         | 0,81                           | 0,88                             | 0,94                        | 1,00                         | 0,59 0,                         | 0,62 0,                    | 0,69 0,                  | 0,75 0,           | 0,81 0,    | 0,88 1,                                     | 1,06            | 1,25       |
| Masse volumique (en kg/m³)  |                                       |                               |  |                              |                                 |                             |                               |                   |                              |                                |                                  |                             |                              |                                 |                            |                          |                   |            |   |                 |            |
| Masse volumique   | ×                                     | 290                           | 310  | 320                          | 330                             | 340                         | 350                           | 370               | 380                          | 400                            | 420 4                            | 440                         | 460 4                        | 475 4                           | 485 5                      | 530                      | 540               | 220 6      | 620 7                                       | 002             | 006        |
| Masse volumique moyenne   | Лтеал                                 | 350                           | 370  | 380                          | 390                             | 410                         | 450                           | 450               | 460                          | 480                            | 200                              | 250                         | 550 5                        | 570 5                           | 280                        | 640                      | 650               | 099        | 8 052                                       | 840 10          | 1080       |
| NOTE 1 Les valeurs données d'dessus le module moyen d'élasticité transversale e NOTE 2 Les propriétés disposées dans relative de 65 %.  | d-dessus<br>isversale e<br>ées dans l | pour la<br>t le mo<br>e table | s pour la résistance à la traction, la résistance à la compression, la résistance au cisallement, le module d'élasticité au 5e percentile, et le module moyen de dsaillement ont été calculées en utilisant les équations données à l'Annexe A. le tableau sont compatibles avec des bols présentant une teneur en humidité résultant d'une température de 20 °C et une humidité | ance à<br>loyen d<br>it comp | la traci<br>e dsall<br>attibles | ion, la<br>lement<br>avec ( | résista<br>ont été<br>les bol | calcul<br>calcul  | a comp<br>ées en<br>intant u | ression<br>utilisar<br>ıne ten | n, la ré;<br>nt les éc<br>eur en | sistanc<br>quation<br>humid | e au cl<br>s donn<br>te résu | sallem<br>ées à l'<br>iltant d' | ent, le<br>Annex<br>une te | module<br>e A.<br>mpéral | e déla:<br>ure de | sticité a  | ié au 5e percentille,<br>°C et une humidité | erceni<br>humik | dité ille. |
| NOTE 3 Il est possible que le bois se conformant aux classes C45 et C50 ne soit pas disponible facilement. NOTE 4 Les valeurs caractéristiques pour la résistance au cisaillement sont données pour du bois sans fissures, selon l'EN 408. Il convient de couvrir l'impact des fissures par les règles de calcul. | oois se cor<br>tiques pou             | formai<br>ir la ré            | nt aux c   | dasses<br>e au ci            | c45 e                           | c C50 n                     | e soit p                      | as disp<br>ées po | onible<br>ur du t            | facilen<br>oois sa             | ent<br>ns fiss                   | ıres, se                    | olon l'E                     | N 408.                          | II com                     | rient d                  | e coun            | ir<br>Limb | act de                                      | s fissu         | res        |

#### B. Calculs des flèches

Il existe deux critères de flèches à vérifier pour les éléments en bois dans les bâtiments neufs :

- critère de flèche à long terme sous l'ensemble des charges (permanentes et additionnelles). Cette flèche intègre les phénomènes de fluage.
- critère de flèche à court terme sous les surcharges d'exploitation.

Le premier critère de flèche n'a pas de sens pour un plancher ancien qui a été modifié lors de son existence. Il est donc remplacé par les conditions suivantes :

- les revêtements de sol et cloisons portés par le plancher ne doivent pas présenter de désordres
- la flèche du sol actuellement observée sur place doit être compatible avec l'utilisation du bâtiment,
- le plancher ne doit pas être rechargé.

Les critères à vérifier par un élément structurel d'une structure ancienne du point de vue de l'Eurocode 5 sont alors :

- le critère de contrainte de flexion,
- le critère de contrainte de cisaillement,
- critère de flèche à court terme sous les surcharges d'exploitation : flèche maximale instantanée (nota : sans fluage) sous les seules charges d'exploitation, prise égale au 300ème de la portée (L/300).

#### C. Hypothèses de calculs

#### 1. Charges permanentes

Les charges permanentes de planchers et de toiture prises en compte sont données dans les différentes parties du diagnostic, salle par salle. Ces charges ont été déterminées sur la base des sondages réalisés lors de notre intervention.

#### 2. Charge d'exploitation sur plancher

Les charges d'exploitation des planchers sont calculées sur la base des structures porteuses reconnues.

Les passerelles techniques des combles de l'église sont inaccessibles au public. Il s'agit de circulations d'entretien, nous retenons une charge d'exploitation de 80 daN/m².

#### 3. Charges d'exploitation en toiture

D'après l'annexe nationale de l'Eurocode 1, pour les toitures de catégorie H (toiture inaccessible sauf pour entretien) avec une pente comprise entre 3 et 5%, nous retenons une charge ponctuelle de **150 daN** appliquée au milieu de la panne ou une charge répartie de 80 daN/m² sur 10 m².

Tableau 6.10 (NF) - Toitures de catégorie H: charges d'exploitation

| Type de la toiture   | <b>q<sub>k</sub></b> [kN/m <sup>2</sup> ] | Qk [kN] |
|--|---|---------|
| Toiture de pente inférieure à 15 % recevant une étanchéité | 0,8                                       | 1,5     |
| Autres toitures  | 0   | 1,5     |

Tableau 1 Critères de charges d'exploitation à l'Eurocode 1

#### 4. Charges climatiques

Marseille (13) se situe en région de neige A2 (altitude = 30m)



Figure 5-3 : Régions de neige en France

Annexe Nationale EN1991-1-3

| Régions de neige   | A1   | A2   | B1   | B2   | C1   | C2   | D    | E    |
|--|------|------|------|------|------|------|------|------|
| charge de neige caractéristique au sol $s_{k,0}$<br>(kN/m <sup>2</sup> ) à une altitude inférieure à 200 m | 0,45 | 0,45 | 0,55 | 0,55 | 0,65 | 0,65 | 0,90 | 1,40 |
| charge de neige exceptionnelle s <sub>Ad</sub> (kN/m <sup>2</sup> )  | -    | 1,00 | 1,00 | 1,35 | -    | 1,35 | 1,8  | -    |

Figure 4 Valeur des charges de neige

Soit une charge de neige de  $S_k$  de 45 daN/m² et  $S_{Ad}$  de 100 daN/m².

La pente de la toiture est égale à 20° environ pour la charpente de la nef et 14° pour celle des bas-côtés. Le coefficient de forme est donc égal à :  $\mu_1=0.8$ . La charge de neige est donc égale à :  $S_d=0.8 \times 45=36.0 \text{ daN/m}^2$ 

 $S_{Ad}$ =0,8 x 100 = 80,0 daN/m<sup>2</sup>



## Marseille (13) se situe en région de vent 3. Nous retenons les hypothèses suivantes :



avec

|                                 | Frai | nce mét | ropolit | aine | Ι      | O.O.M.  Guadeloupe  Martinique  Réunion  (Mayotte) |
|---------------------------------|------|---------|---------|------|--------|--|
| Régions                         | 1    | 2       | 3       | 4    | Guyane | Martinique<br>Réunion                              |
| Vitesse de base $v_{b,0}$ (m/s) | 22   | 24      | 26      | 28   | 17     | 34   |

Figure 5 Vitesses de base

La vitesse de base est donc de 26 m/s.

## 5. Charges sismiques

Marseille (13) se situe en zone de sismicité 2. Notre diagnostic n'a pas pour objectif l'analyse sismique des ouvrages.



## IV. DIAGNOSTIC DES PLANCHERS DU PRESBYTERE NORD

## A. <u>Planchers hauts du rez-de-chaussée</u>

Le diagnostic est mené salle par salle.

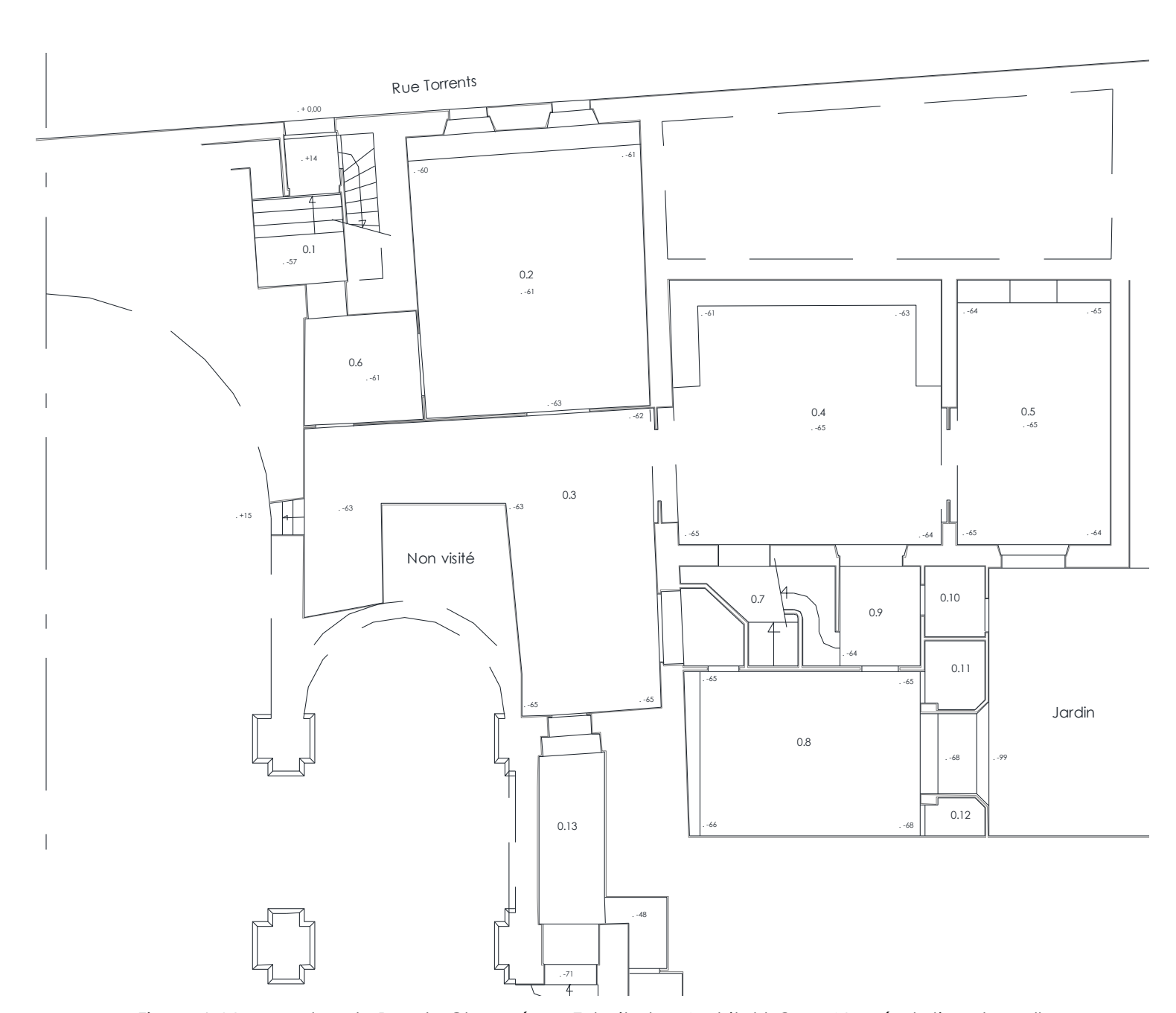


Figure 6 Vue en plan du Rez de Chaussée - Extrait plan Architekt-On - Numérotation des salles (0.1 à 0.13)



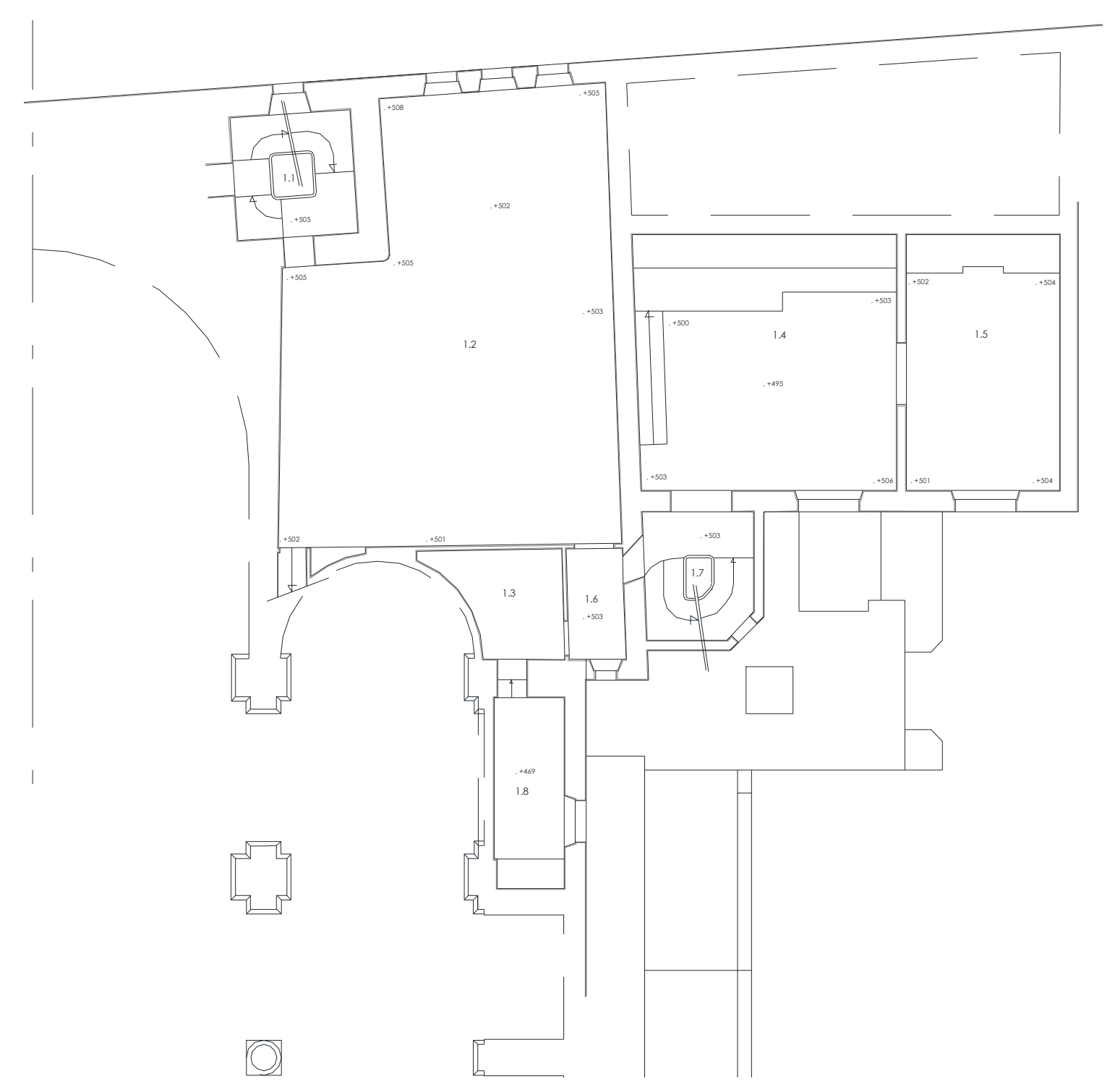


Figure 7 Vue en plan du Premier étage - Extrait plan Architekt-On - Numérotation des salles (1.1 à 1.8)



## 1. Salle 1.2 dite salle cinéma

Les poutres porteuses portent parallèlement à la rue. Nous distinguons donc deux portées distinctes de 5,60 m et 8,30 m (voir plan ci-dessous).

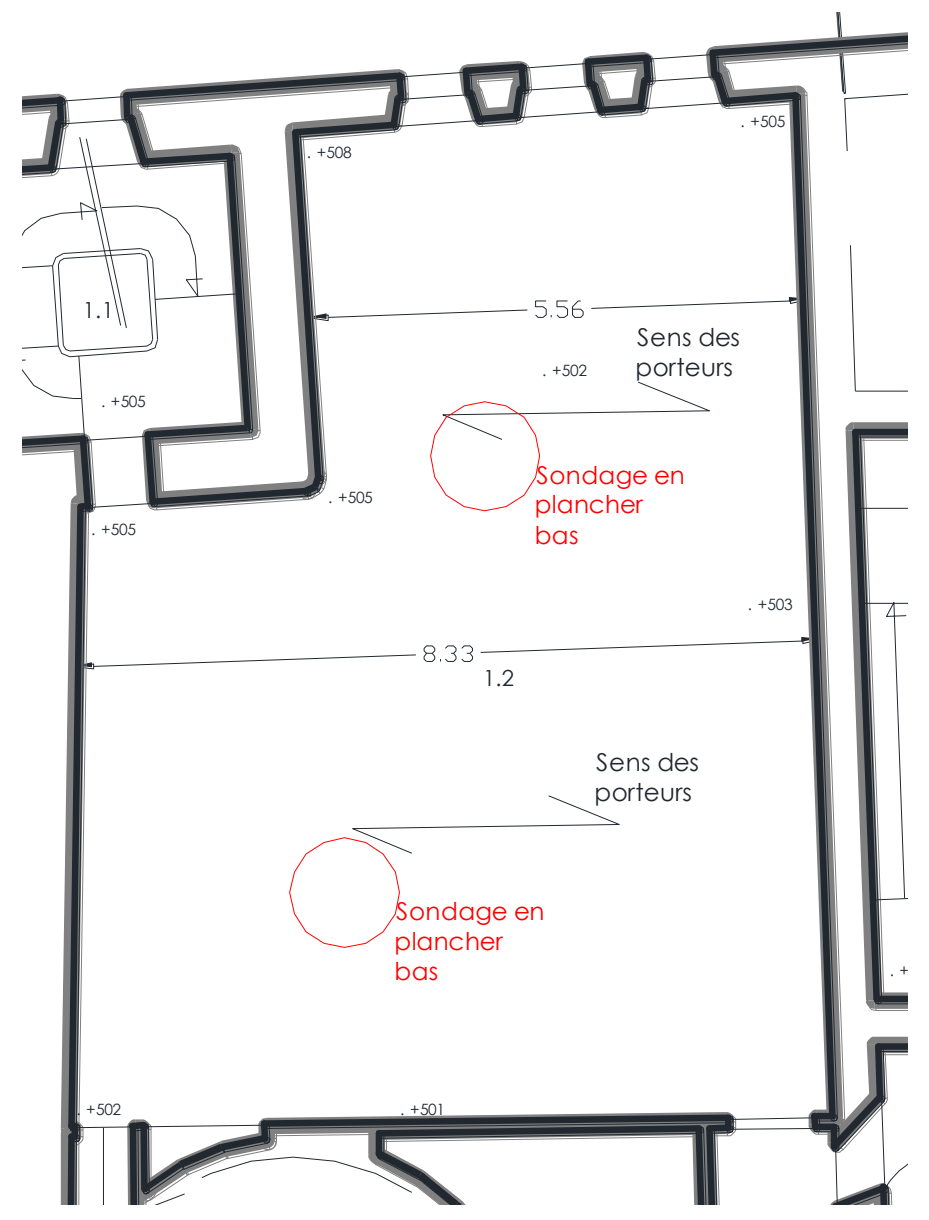


Figure 8 Vue en plan du 1er étage - Disposition des porteurs



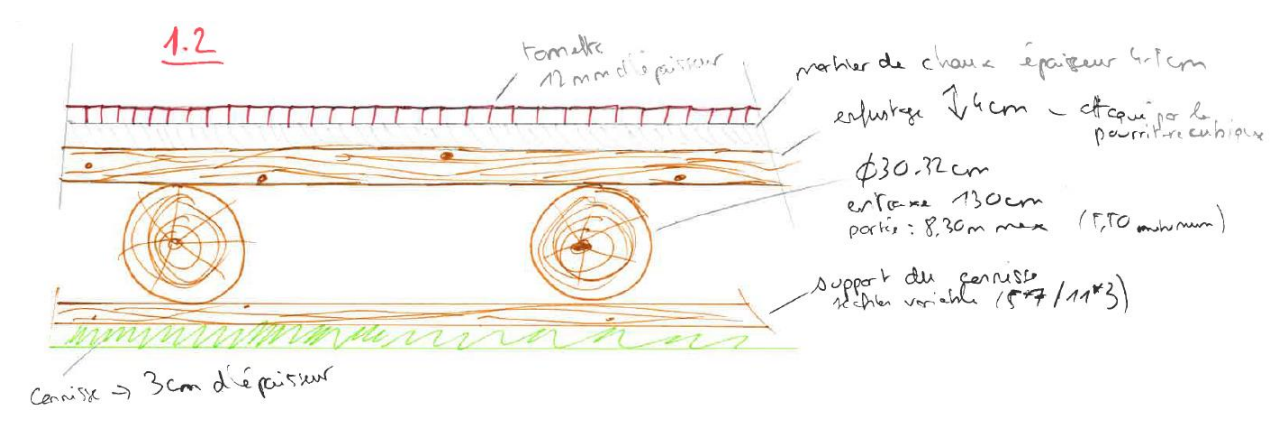


Figure 9 Relevé du sondage côté rue PB 1er étage salle 1.2

Sur la base de la composition des planchers reconnues, nous calculons les charges permanentes suivantes :

#### Plancher Bas de la salle 1.2

| Dé | finitic | on des charges rapportées au m² | Н  |      | В    |    | Е    |   | d                           |
|----|---------|---------------------------------|----|------|------|----|------|---|-----------------------------|
| Gl | =       | 27 kg/m²: Poids du REVÊTEMENT   | 15 | mm x | 1000 | mm | 1,00 | m | 1800 kg/m3Tomette           |
| G2 | =       | 68 kg/m²: Poids du SUPPORT      | 40 | mm x | 1000 | mm | 1,00 | m | 1700 kg/m3 Mortier de chaux |
| G3 | =       | 22 kg/m²: Poids du SUPPORT      | 40 | mm x | 1000 | mm | 1,00 | m | 550 kg/m3 Enfustage         |
| G4 | =       | 5 kg/m²: Poids du SUPPORT       | 70 | mm x | 50   | mm | 0,40 | m | 550 kg/m3 Entretoises       |
| G5 | =       | 30 kg/m²: Poids du REVÊTEMENT   | 30 | mm x | 1000 | mm | 1,00 | m | 1000 kg/m3 Cannisse plâtrée |
| G  | =       | 152 kg/m²: Total Poids Propres  |    |      |      |    |      |   |                             |



Photo 2 Correspondant au sondage relevé en salle 1.2 - côté rue, portée 5,60 m





Photo 3 Correspondant au sondage relevé en salle 1.2 - portée 8,30 m



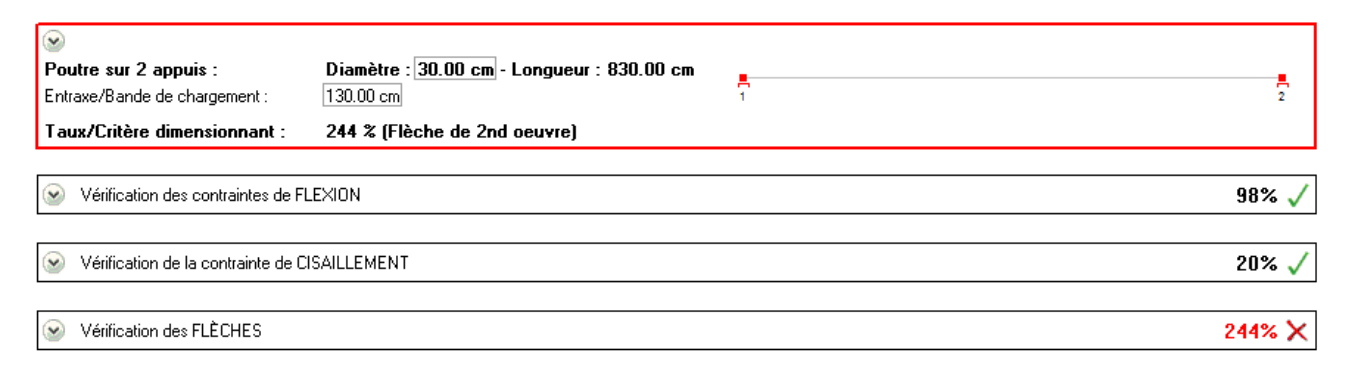
Photo 4 Altération de l'enfutage par de la pouriture cubique



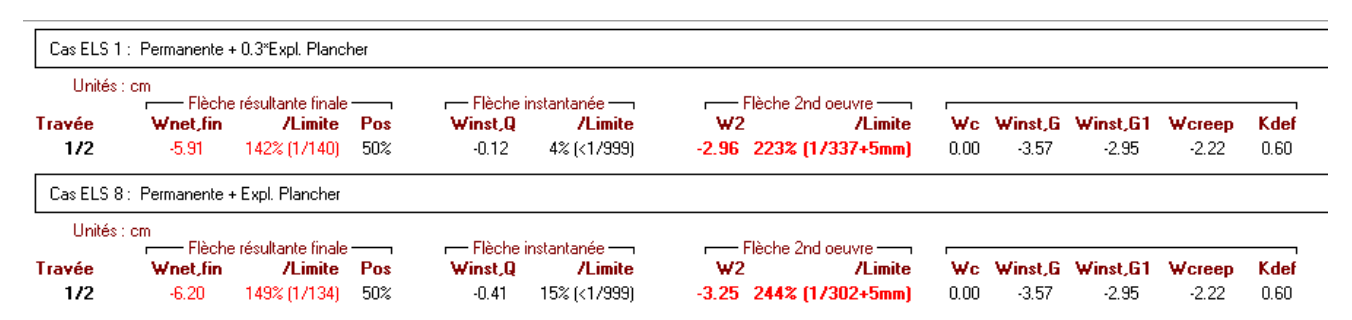


Photo 5 Altération de l'enfutage par de la pouriture cubique

Dans cette salle, nous nous sommes placés dans le cas de la portée la plus défavorable soit 8,30 mètres.



Dans notre mise au calcul, nous avons pris une charge d'exploitation de 20 daN/m².



Notons que la flèche précédemment calculée rentre dans le cadre d'un plancher neuf et prend en compte le fluage du bois. Dans l'existant, le bois a déjà flué.



Ici, la flèche qui nous concerne est égale à :  $W_{inst,G} - W_{inst,G1} + W_{inst,Q} = 3.57 - 2.95 + 0.41 = 1.03$  cm < L/1000 + 5 mm = 1,33 cm. Soit un taux de travail ELS de 77 % .

La capacité portante du plancher de cette salle est malgré tout limitée par les conditions de contrainte à 20 daN/m².

Ces résultats sont corrélés avec les défauts observés sur site (souplesse du plancher, présence de fortes flèches).

Notons que sur les deux sondages réalisés, nous n'avons pas observé d'altérations préoccupantes des poutres porteuses. Les altérations sont par contre assez marquées sur les enfustages (voir photographies précédentes) sans que cela ne remettent en question pour l'instant la stabilité des planchers.



## 2. Salle 1.4

Les poutres porteuses portent parallèlement à la rue.

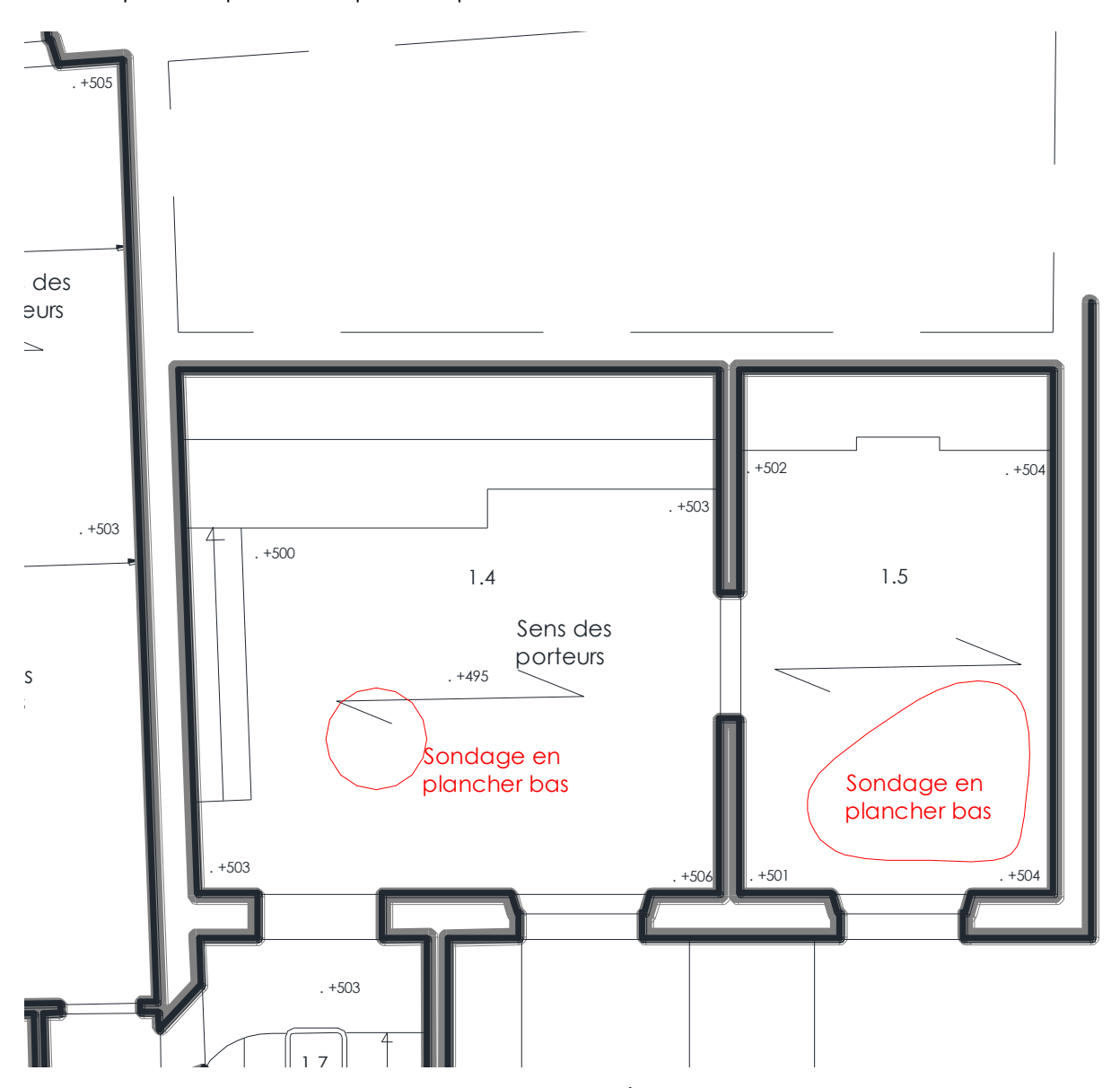


Figure 10 Vue en plan du 1er étage - Disposition des porteurs

Les sondages donnent la composition suivante :



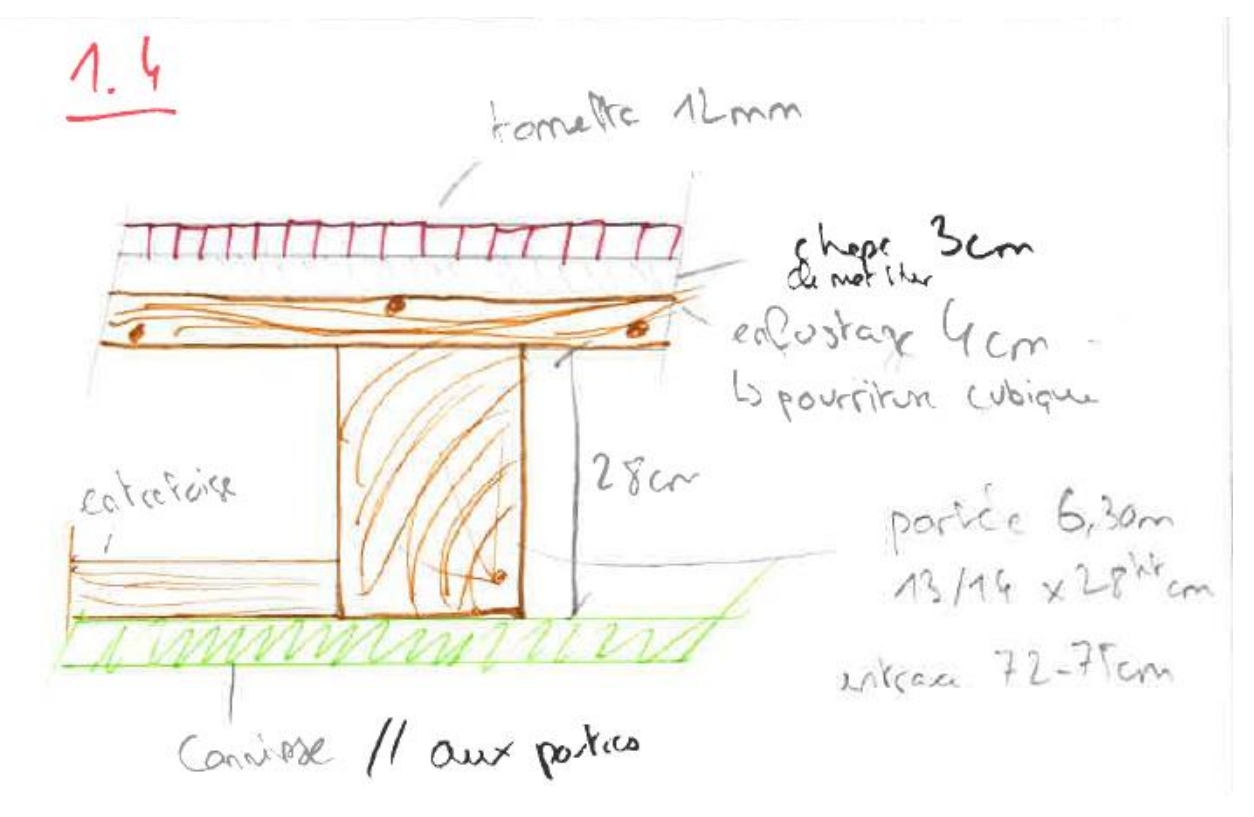


Figure 11 Relevé du sondage PH RDC salle 1.4



Photo 6 Vue des ossatures porteuses





Photo 7 Altération de l'enfustage



Photo 8 Déformation du plancher (forte flèche avec fissuration du revêtement de tomette)





Photo 9 Déformation du plancher (forte flèche avec fissuration du revêtement de tomette)



Photo 10 Présence de placards lourds









Photo 12 Fissuration du plafond de la salle 0.4



Nous retenons les hypothèses de charges suivantes :

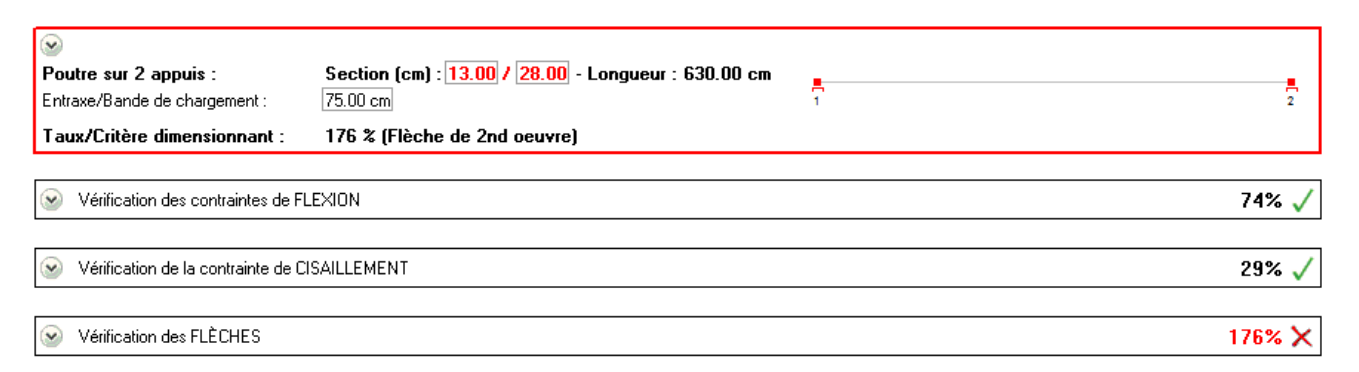
#### Plancher Bas de la salle 1.4 Définition des charges rapportées au m<sup>2</sup> G1 22 kg/m<sup>2</sup>: Poids du REVÊTEMENT 12 mm x 1000 mm 1,00 m 1800 kg/m3 Tomette G2 60 kg/m<sup>2</sup>: Poids du SUPPORT 35 mm x 1000 mm 1,00 m 1700 kg/m3 Mortier de chaux 22 kg/m<sup>2</sup>: Poids du SUPPORT 40 550 kg/m3 Enfustage G3 mm x 1000 mm 1,00 m G4 25 kg/m<sup>2</sup>: Poids du SUPPORT 130 140 mm 0,40 m 550 kg/m3 Entretoises mm x G5 30 kg/m<sup>2</sup> : Poids du REVÊTEMENT 30 mm x 1000 mm 1,00 m 1000 kg/m3 Cannisse plâtrée

Nous avons pris en compte une charge supplémentaire de 50 daN/m² localisée au droit des placards.

La mise au calcul de l'élément nous donne :

158 kg/m<sup>2</sup>: Total Poids Propres

G



Dans notre mise au calcul, nous avons pris une charge d'exploitation de 100 daN/m².



Notons que la flèche précédemment calculée rentre dans le cadre d'un plancher neuf et prend en compte le fluage du bois. Dans l'existant, le bois a déjà flué.

Ici, la flèche qui nous concerne est égale à :  $W_{inst,G} - W_{inst,G1} + W_{inst,Q} = 1.53 - 1.25 + 0.67 = 0.95$  cm < L/1000 + 5 mm = 1,13 cm. Soit un taux de travail ELS de 84 % .

Nous calculons une capacité portante de plancher de 100 daN/m² sur la base des critères de contrainte. Ces résultats sont corrélés avec les défauts observés sur site (souplesse du plancher, présence de fortes flèches, fissuration des plafonds inférieurs et des revêtements supérieurs).

Notons que sur le sondage réalisé ne met pas en évidence d'altérations préoccupantes des poutres porteuses. Les altérations sont par contre assez marquées sur les enfustages (voir photographies précédentes) sans que cela ne remettent en question pour l'instant la stabilité des planchers.



## 3. Salle 1.5 presbytère

Les poutres porteuses portent parallèlement à la rue.

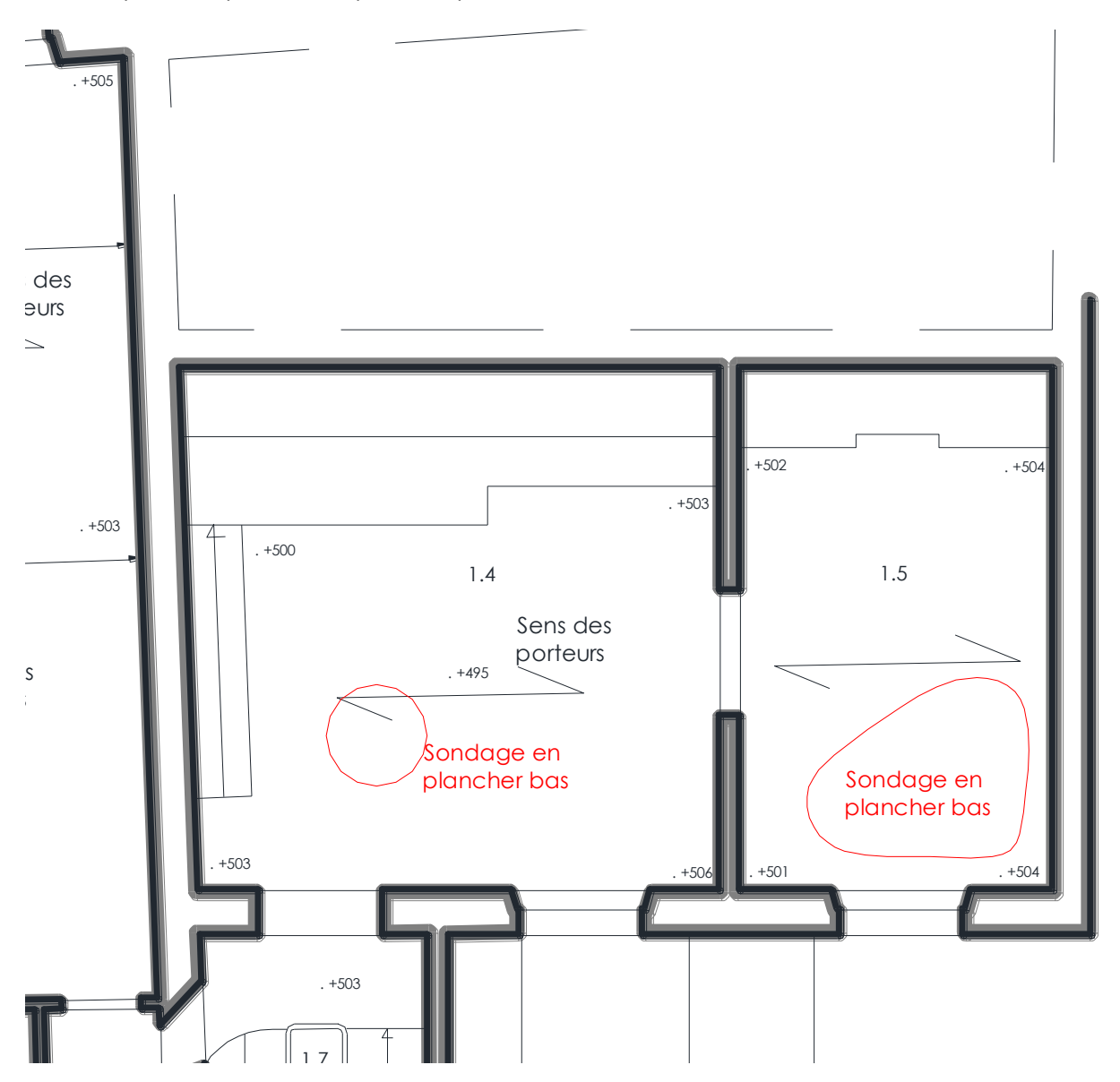


Figure 12 Vue en plan du 1er étage - Disposition des porteurs

Les sondages donnent la composition suivante :



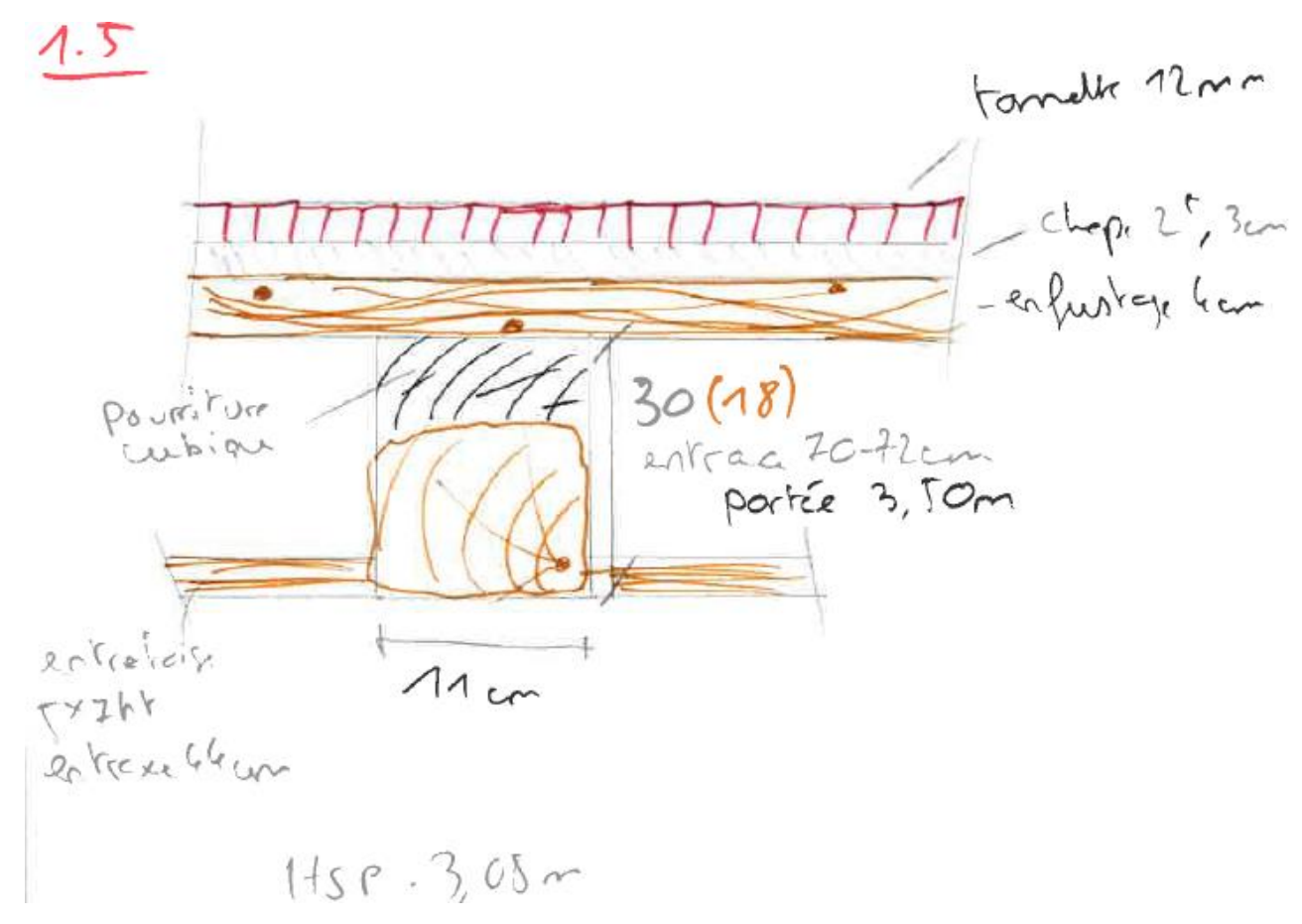


Figure 13 Relevé des structures PH RDC en salle 1.5



Photo 13 Correspondant au sondage relevé en salle 1.5

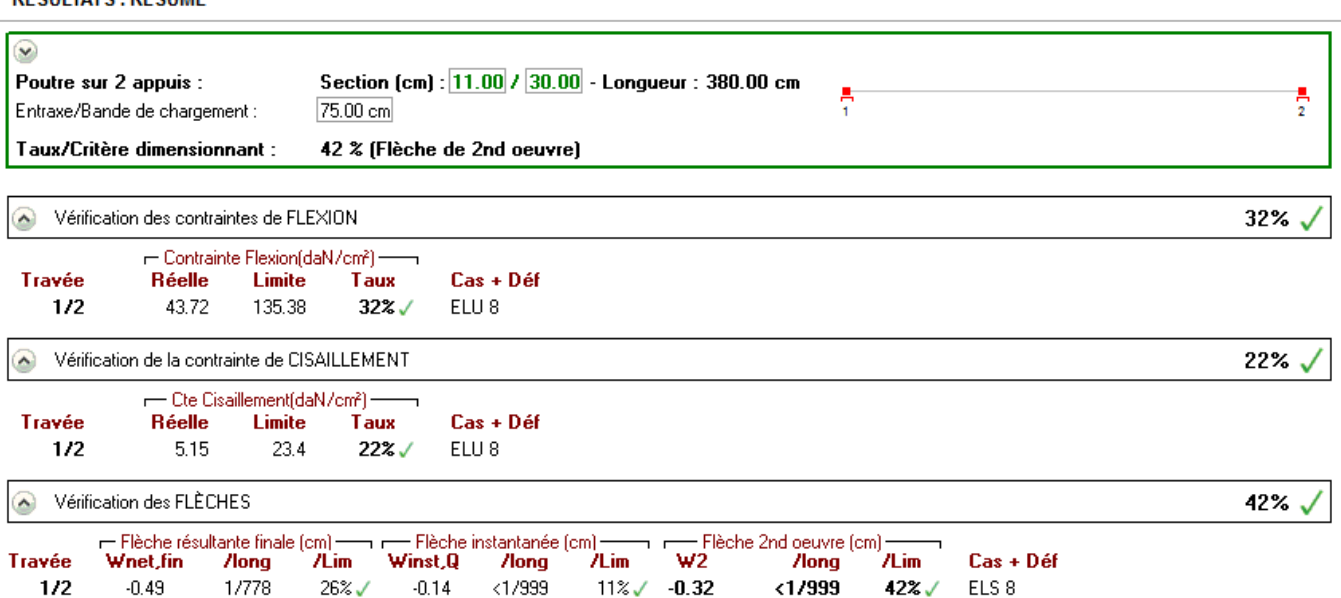


Nous retenons des hypothèses de charges identiques à la salle précédente :

#### Plancher Bas de la salle 1.4 Définition des charges rapportées au m<sup>2</sup> Н Ε d 22 kg/m<sup>2</sup>: Poids du REVÊTEMENT G1 12 mm x 1000 mm 1,00 m 1800 kg/m3 Tomette 60 kg/m² : Poids du SUPPORT G2 35 mm x 1000 mm 1,00 m 1700 kg/m3 Mortier de chaux 22 kg/m<sup>2</sup>: Poids du SUPPORT G3 40 1,00 m 550 kg/m3 Enfustage mm x 1000 mm G4 25 kg/m<sup>2</sup>: Poids du SUPPORT 130 mm x 140 mm 0,40 m 550 kg/m3 Entretoises 30 kg/m²: Poids du REVÊTEMENT mm 1,00 m 1000 kg/m3 Cannisse plâtrée G5 30 mm x 1000 G 158 kg/m<sup>2</sup>: Total Poids Propres

La mise au calcul de l'élément nous donne, avec une charge d'exploitation de 150 daN/m<sup>2</sup>:

#### RÉSULTATS: RÉSUMÉ



Le plancher est largement dimensionné pour reprendre les charges d'exploitation de 150 daN/m².

Toutefois, comme le montre la photographie précédente, les sommiers de cette salle ont subi des dégradations importantes dues à de la pourriture cubique. La section résiduelle la plus faible relevée est de 11 x 18 cm ht.

La mise au calcul de l'élément altéré donne une capacité portante insuffisante. Les sections résiduelles des poutres devront être supérieures à 11 x 20 cm ht pour une utilisation des locaux à 150 daN/m².



# B. <u>Planchers hauts du premier étage</u>

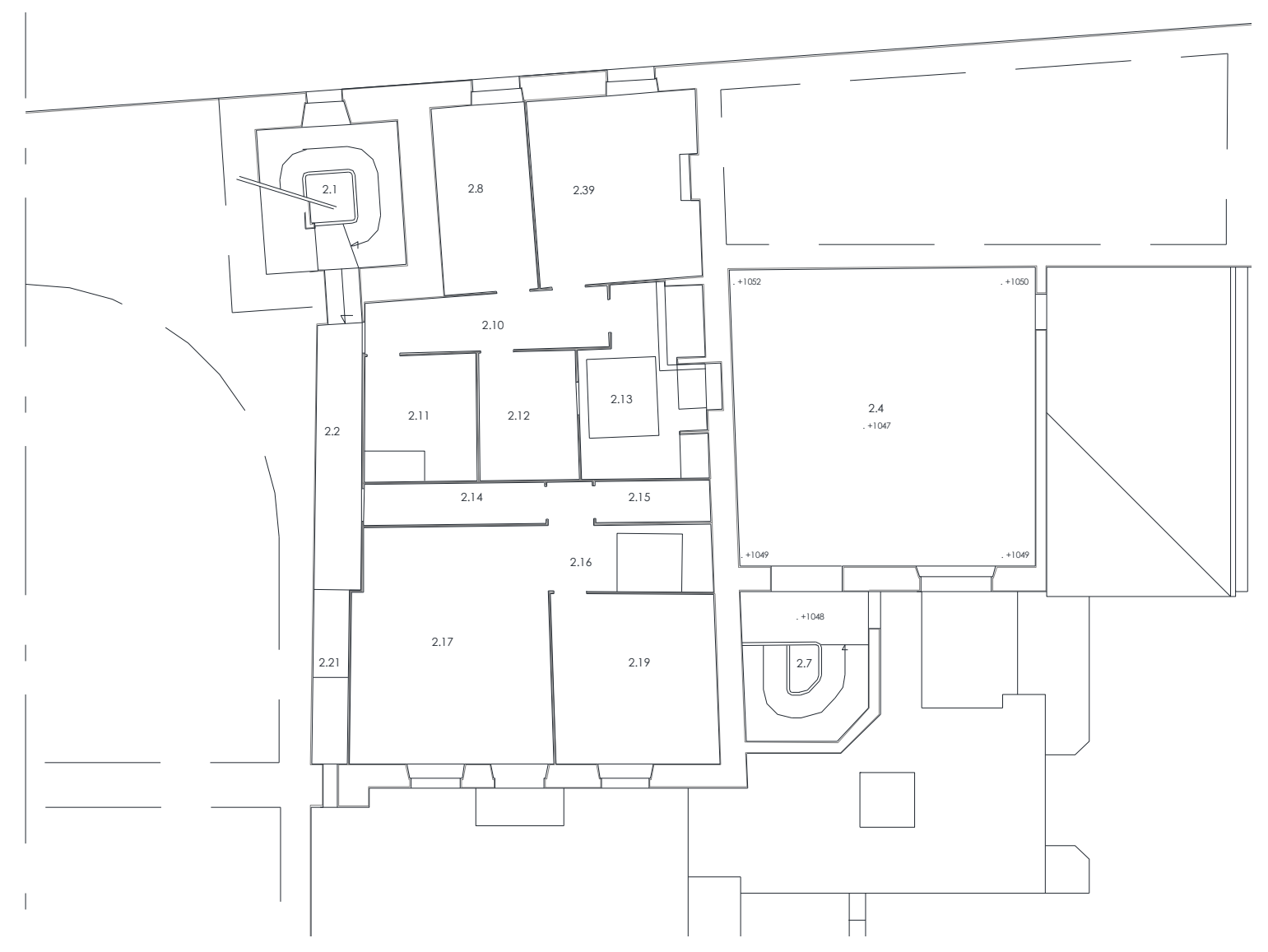


Figure 14 Vue en plan du Deuxième étage - Extrait plan Architekt-On - Numérotation des salles



## 1. <u>Salle 2.4</u>

Les poutres porteuses portent parallèlement à la rue.

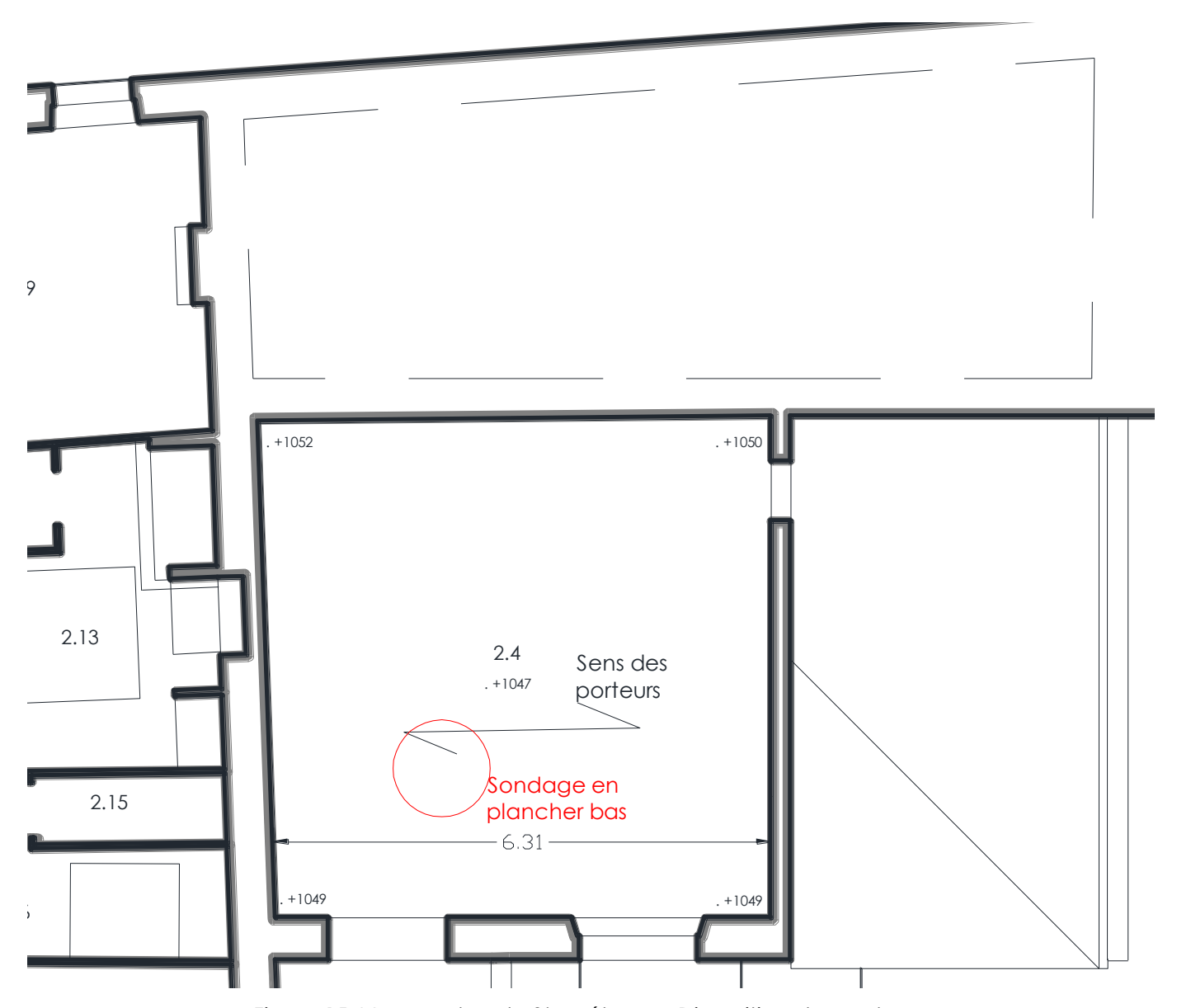


Figure 15 Vue en plan du 2ème étage - Disposition des porteurs

Les sondages donnent la composition suivante :



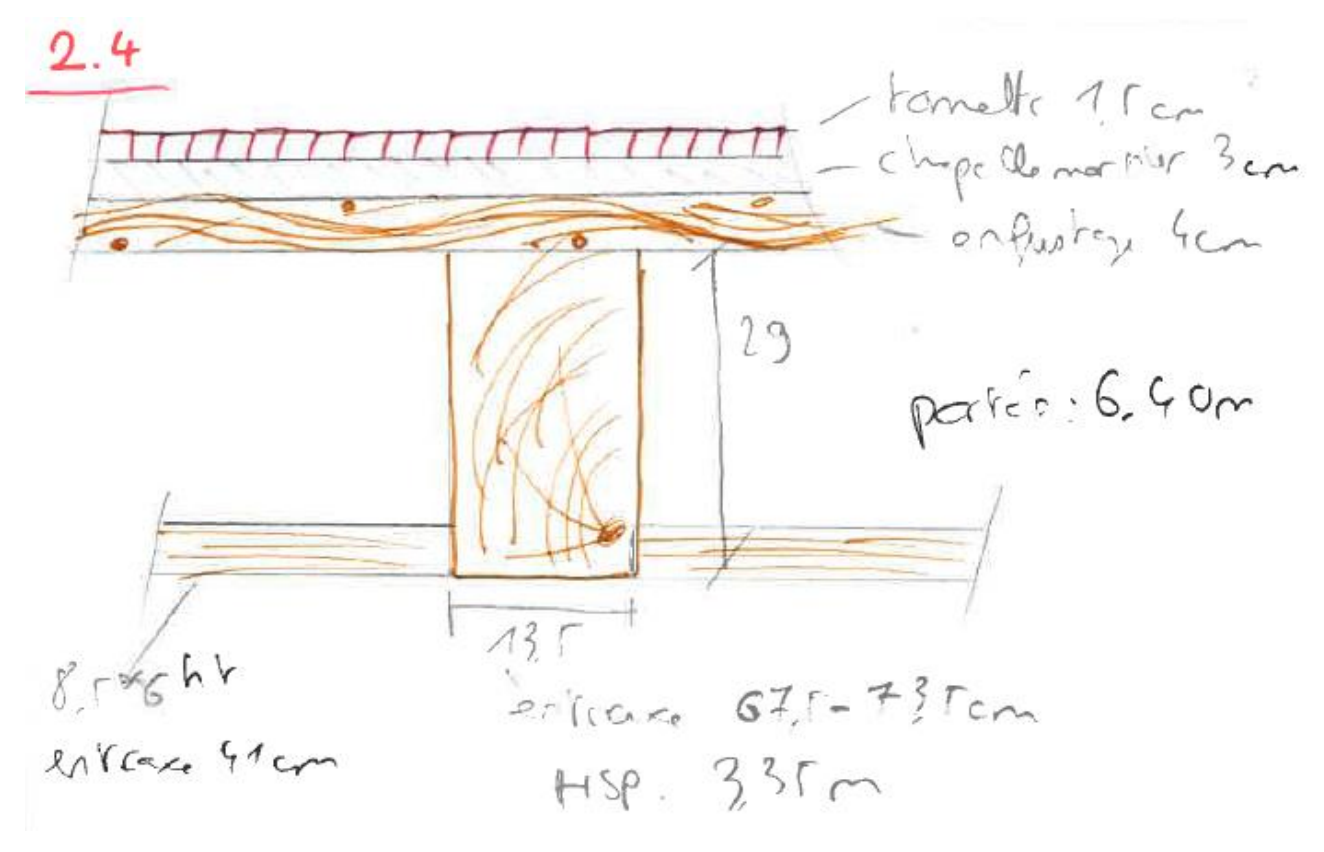


Figure 16 Relevé du sondage PH R+1 salle 2.4



Photo 14 Vue du sondage en plancher

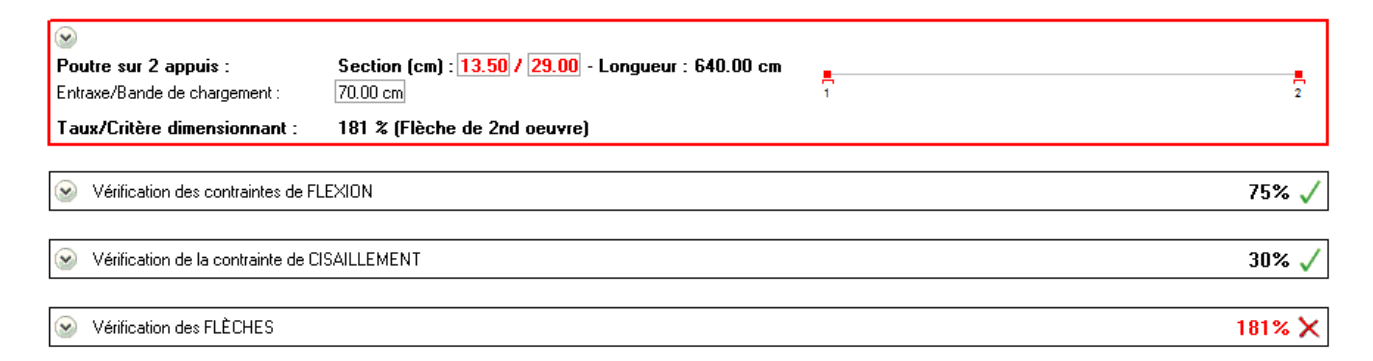




Photo 15 Vue intérieur du plancher

Le sondage ne met pas en évidence d'altérations particulières.

La mise au calcul de l'élément nous donne :





| Cas ELS 1         | : Permanente +  | - 0.3*Expl. Planc                           | her     |                            |   |       |  |                |                  |                   |                 |                  |
|-------------------|-----------------|---|---------|----------------------------|---|-------|--|----------------|------------------|-------------------|-----------------|------------------|
| Unités Travée 1/2 |                 | résultante finale<br>/Limite<br>80% (1/250) | Pos 50% | Flèche<br>Winst,Q<br>-0.26 | instantanée —<br><b>/Limite</b><br>12% (<1/999) | W2    | lèche 2nd oeuvre ——<br>/Limite<br>128% (1/668+5mm) | <b>Wc</b> 0.00 | Winst,G<br>-1.34 | Winst,G1<br>-1.10 | Wcreep<br>-0.96 | <b>Kdef</b> 0.60 |
| Cas ELS 8         | 3: Permanente + | Expl. Plancher                              |         |                            |   |       |  |                |                  |                   |                 |                  |
| Unités            |                 | résultante finale                           |         | Flàche                     | instantanée —                                   |       | lèche 2nd oeuvre ——                                |                |                  |                   |                 |                  |
| Travée            | Wnet,fin        | /Limite                                     |         | Winst,Q                    | /Limite   | W2    | /Limite  | Wc             | Winst,G          | Winst,G1          | Wcreep          | Kdef             |
| 1/2               | -3.16           | 99% (1/203)                                 | 50%     | -0.86                      | 40% (1/742)                                     | -2.06 | 181% (1/410+5mm)                                   | 0.00           | -1.34            | -1.10             | -0.96           | 0.60             |

Notons que la flèche précédemment calculée rentre dans le cadre d'un plancher neuf et prend en compte le fluage du bois. Dans l'existant, le bois a déjà flué.

Ici, la flèche qui nous concerne est égale à :  $W_{inst,G} - W_{inst,G1} + W_{inst,Q} = 1.34 - 1.1 + 0.86 = 1.1$  cm < L/1000 + 5 mm = 1.14 cm. Soit un taux de travail ELS de 96 % .

La capacité portante du plancher de cette salle est donc de 150 daN/m².



## 2. Salle 2.39

Les poutres porteuses portent parallèlement à la rue.



Figure 17 Vue en plan du 2ème étage - Disposition des porteurs

Les sondages donnent la composition suivante :



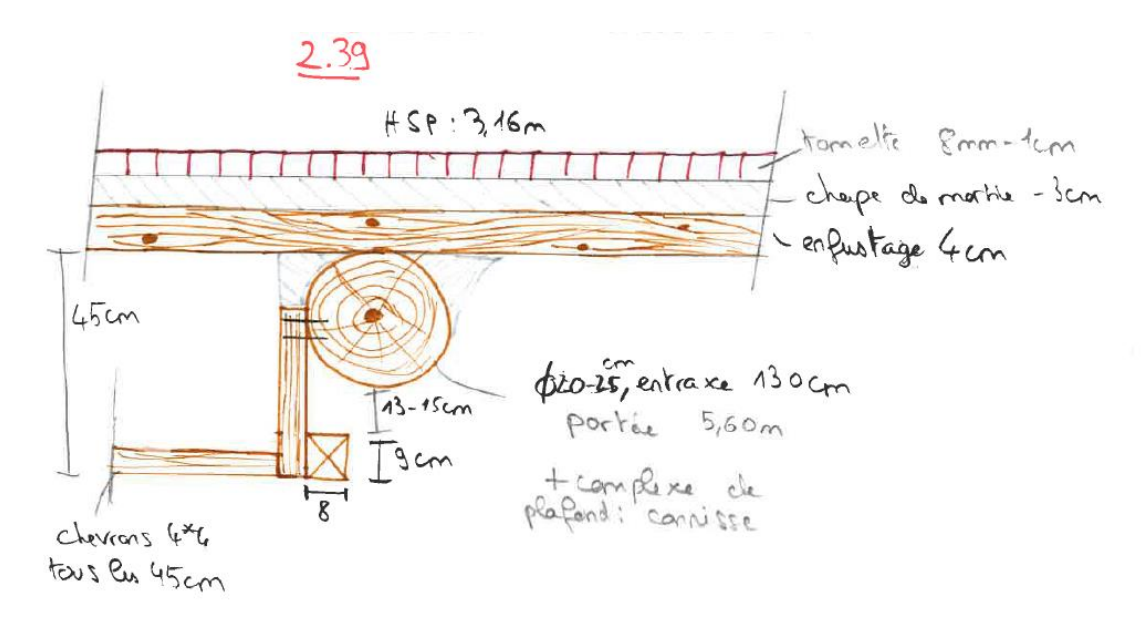


Figure 18 Relevé du sondage PH R+1 salle 2.39



Photo 16 Correspondant au sondage relevé en salle 2.39



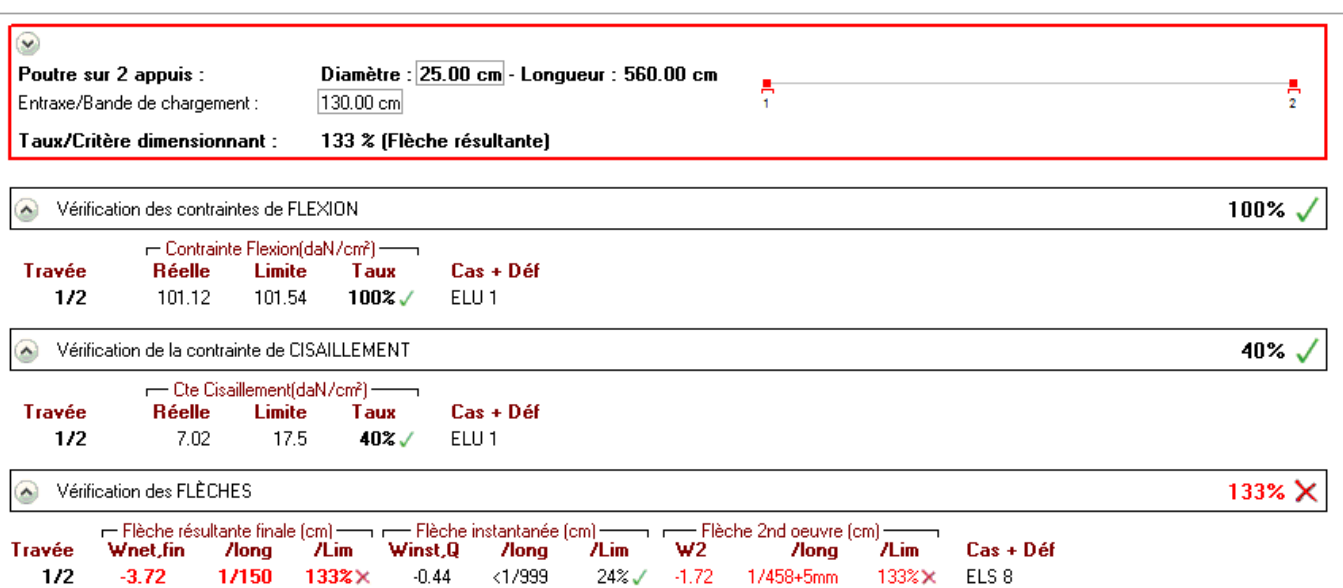
Le calcul de descente de charges donne :

#### Plancher Bas de la salle 2.39

| Dé | finitic | on des charges rapportées au m² | Н   |      | В    |    | Е    |   | d                           |
|----|---------|---------------------------------|-----|------|------|----|------|---|-----------------------------|
| G1 | =       | 22 kg/m²: Poids du REVÊTEMENT   | 12  | mm x | 1000 | mm | 1,00 | m | 1800 kg/m3Tomette           |
| G2 | =       | 60 kg/m²: Poids du SUPPORT      | 35  | mm x | 1000 | mm | 1,00 | m | 1700 kg/m3 Mortier de chaux |
| G3 | =       | 22 kg/m²: Poids du SUPPORT      | 40  | mm x | 1000 | mm | 1,00 | m | 550 kg/m3 Enfustage         |
| G4 | =       | 25 kg/m²: Poids du SUPPORT      | 130 | mm x | 140  | mm | 0,40 | m | 550 kg/m3 Entretoises       |
| G5 | =       | 2 kg/m²: Poids du SUPPORT       | 40  | mm x | 40   | mm | 0,45 | m | 550 kg/m3 Chevrons          |
| G6 | =       | 30 kg/m²: Poids du REVÊTEMENT   | 30  | mm x | 1000 | mm | 1,00 | m | 1000 kg/m3 Cannisse plâtrée |
| G  | =       | 160 kg/m²: Total Poids Propres  |     |      |      |    |      |   |                             |

La mise au calcul des poutres principales donne :

#### RÉSULTATS: RÉSUMÉ



Suivant le critère de contrainte, nous calculons une capacité portante de 50 daN/m². Le sondage ne met pas en évidence d'altérations particulières.



#### 1. Salles 2.12 et 2.14

Les poutres porteuses portent parallèlement à la rue.



Figure 19 Vue en plan du 2ème étage - Disposition des porteurs

Les sondages donnent une composition identique au sondage précédent avec des poutres de diamètre 30 cm moyen. Nous relevons toutefois la présence d'un fer IAO entre les poutres maîtresses bois (voir photographie suivante) :



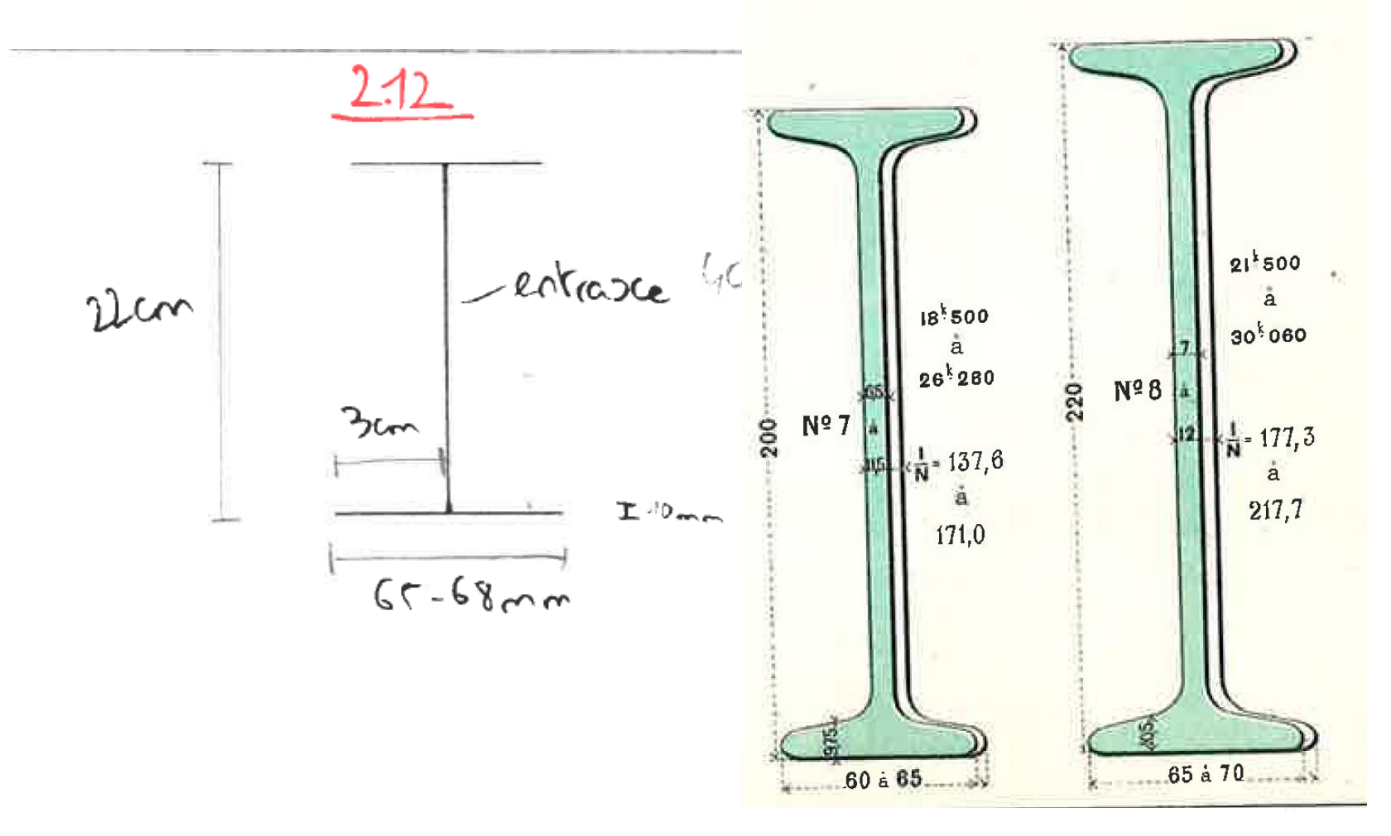


Figure 20 Relevé du sondage PH R+1 en salle 2.12



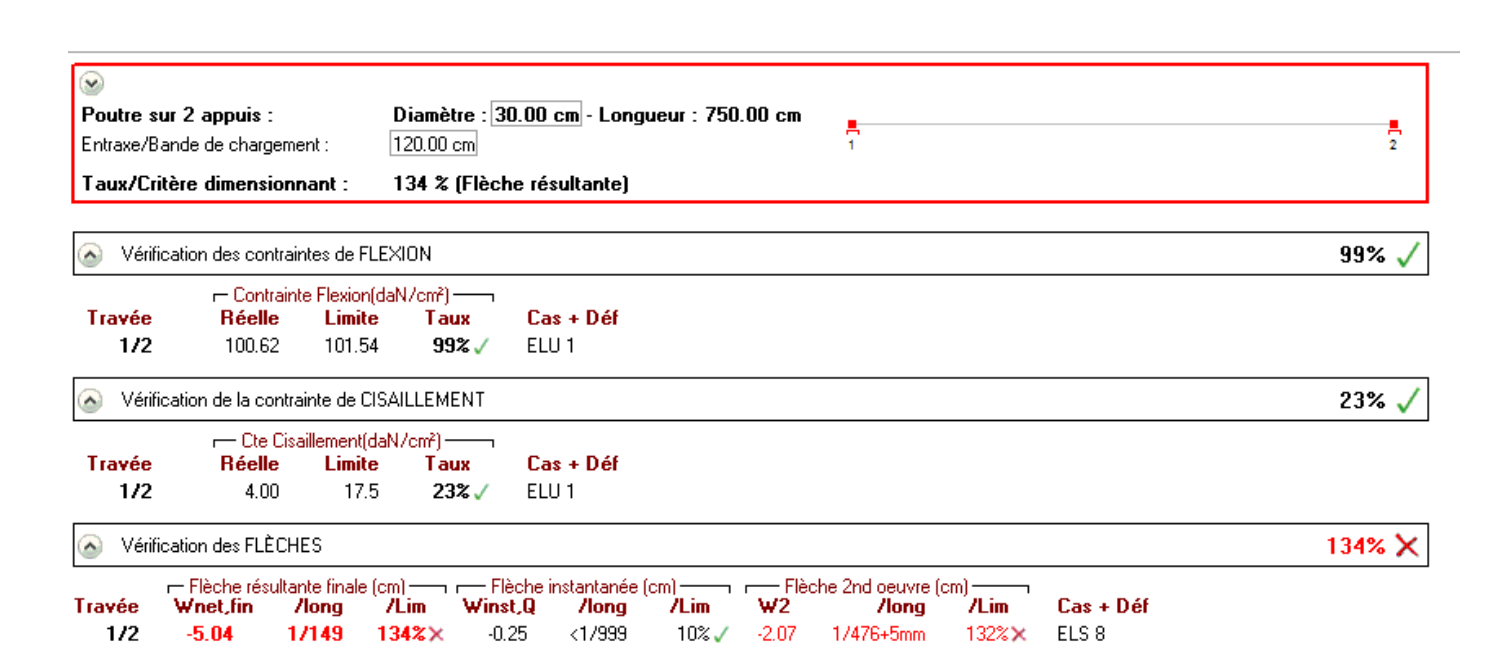
Photo 17 Correspondant au sondage relevé en salle 2.12





Photo 18 Correspondant au sondage relevé en salle 2.12

La mise au calcul des poutres principales prenant en compte une charge d'exploitation de 50 daN/m² donne :



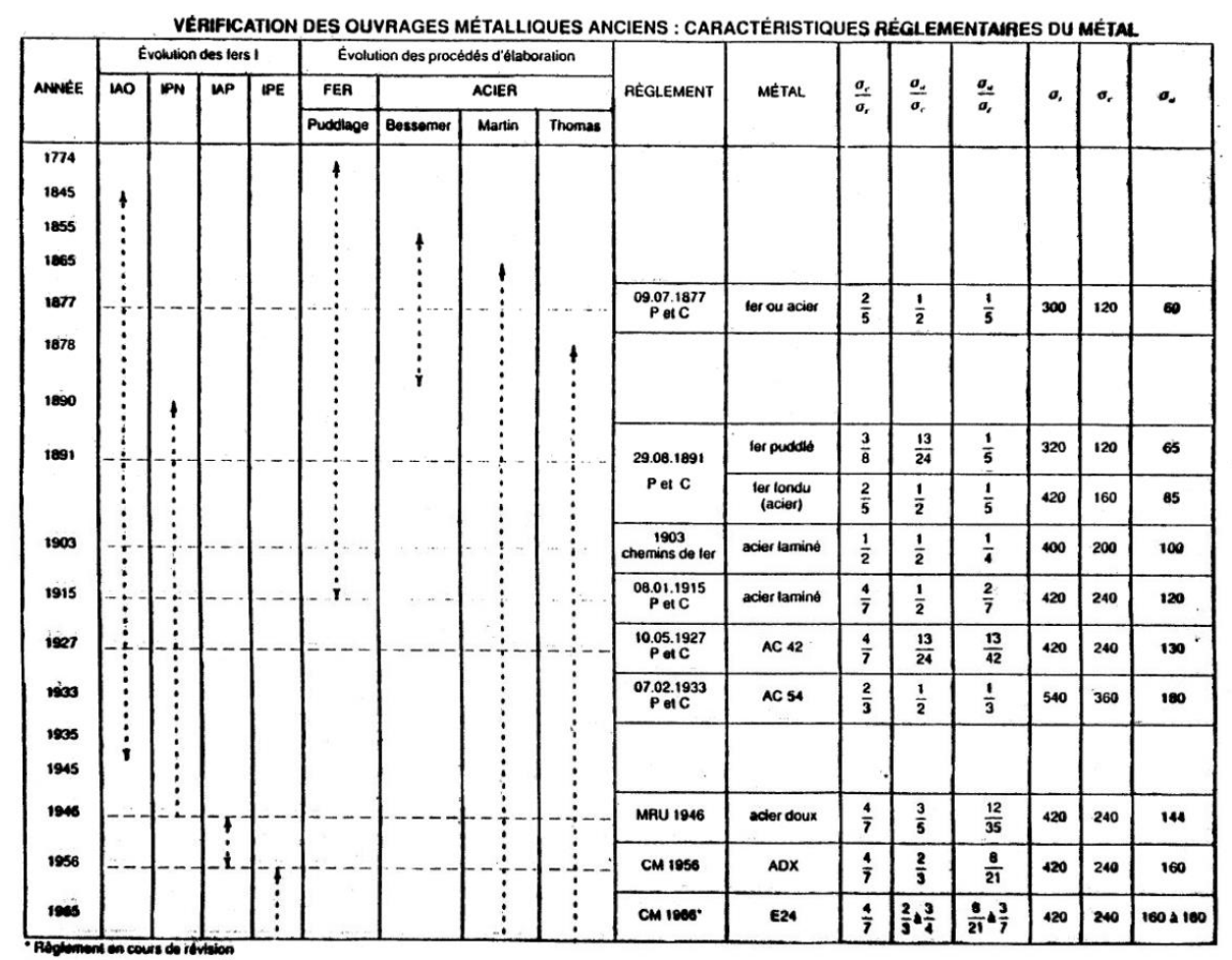


Suivant le critère de contrainte, nous calculons une capacité portante de 50 daN/m².

Le sondage ne met pas en évidence d'altérations particulières (fractures ou dégradation des bois).

La présence du fer I peut toutefois s'expliquer par la faiblesse d'une poutre maîtresse.

La mise au calcul de ces fers est relativement difficile à mener puisque nous ne connaissons pas leur date de fabrication. Les caractéristiques mécaniques des fers ont en effet beaucoup évolués en début du siècle (voir ci-dessous).



O, contrainte de rupture - O, limite élastique - O, contrainte admissible - Unité Mégapascal (1 MPa = 10 bars)



| Portée de la poutre  | 7,40 m   | 1   |   |                              |   |
|--|--|---|---|------------------------------|---|
| Charges  | Ponctuelle 1   | SS  | Ponctuelle 2  | Répai                        | rties                                       |
| Composante permanente  | 0 kg   | 1,35  | 0 kg 1,35   | 126 kg/ml                    | 1,35  |
| Composante surcharge   | 0 kg   | 1,5   | 0 kg 1,5  | 90 kg/ml                     | 1,5   |
| Résultante Ponctuelle 1  | 0  kg  | P1  | 0 kg <b>P2</b>  | 346 kg/ml                    | Q   |
| Distance de l'extrémité A  | 0,00 m   | <b>x</b> 1  | 0,00 m x2   | 2557,4 kg                    | Pr  |
| Composantes d'appui en A   | 0 kg   | P1A   | 0 kg <b>P2A</b>   | 1278,7 kg                    | PrA   |
| Composantes d'appui en B   | 0 kg   | P1B   | 0 kg <b>P2B</b>   | 1278,7 kg                    | PrB   |
| Réactions d'appui en A   | 1279 kg  | RA  |   |                              |   |
| Réactions d'appui en B   | 1279 kg  | RB  |   |                              |   |
| Moment fléchissant maximum   | 2366 kgm   | Mfmax   | enveloppe   |                              |   |
| Profilé retenu   | Acier l  | F24   |   |                              |   |
| Tronic retenu  | <b>IOA</b> en  | ACICI   | L24   |                              |   |
| B base   | 6,8 cm   |   | nertie réduit w   |                              | 217 cm <sup>3</sup>                         |
|  |  |   | nertie réduit w   |                              | 217 cm <sup>3</sup><br>2387 cm <sup>4</sup> |
| B base   | 6,8 cm   | Moment in   | nertie réduit w   | nax. autorisé                |   |
| B base<br>H hauteur  | 6,8 cm<br>22 cm  | Moment in   | nertie réduit w<br>nertie Ix  | max. autorisé                |   |
| B base H hauteur s flexion maximum   | 6,8 cm<br>22 cm<br>1090 kg/cm                          | Moment in Moment in < 2350                          | nertie réduit w<br>nertie Ix  |                              |   |
| B base H hauteur s flexion maximum Coefficient sécurité contrainte   | 6,8 cm<br>22 cm<br>1090 kg/cm<br>2,16                  | Moment in Moment in < 2350                          | nertie réduit w<br>nertie Ix<br>kg/cm <b>s</b> flexion r                  |                              | 2387 cm <sup>4</sup>                        |
| B base H hauteur s flexion maximum Coefficient sécurité contrainte E Module de Young   | 6,8 cm 22 cm 1090 kg/cm 2,16 2100000 kg/cm             | Moment in<br>Moment in<br>< 2350<br>OK              | nertie réduit w<br>nertie Ix<br>kg/cm s flexion r<br>Contrôle d           | es flèches                   | 2387 cm <sup>4</sup>                        |
| B base H hauteur s flexion maximum Coefficient sécurité contrainte E Module de Young Flèche maximum sous charge                | 6,8 cm 22 cm 1090 kg/cm 2,16 2100000 kg/cm P 1         | Moment in Moment in < 2350 OK                       | nertie réduit w nertie Ix kg/cm s flexion r  Contrôle d Réparties 1,92 cm | es flèches<br>Tot            | 2387 cm <sup>4</sup>                        |
| B base H hauteur s flexion maximum Coefficient sécurité contrainte E Module de Young Flèche maximum sous charge Flèche maximum | 6,8 cm 22 cm 1090 kg/cm 2,16 2100000 kg/cm P 1 0,00 cm | Moment in Moment in Moment in 2 2350 OK P 2 0,00 cm | nertie réduit w nertie Ix kg/cm s flexion r  Contrôle d Réparties 1,92 cm | es flèches<br>Tot<br>1,92 cm | 2387 cm <sup>4</sup>                        |

Le fer en place est capable de reprendre une bande de chargement de plancher de 60 cm avec une limite élastique de 1 090 daN/cm² (limite élastiques des IAO en 1 905).

Il a donc un impact très limité sur la capacité portante générale du plancher.



# C. <u>Synthèse du diagnostic</u>

Les plans suivants précisent les capacités portantes des planchers bois.



Figure 21 Vue en plan du premier étage – Charges d'exploitation admissibles des planchers



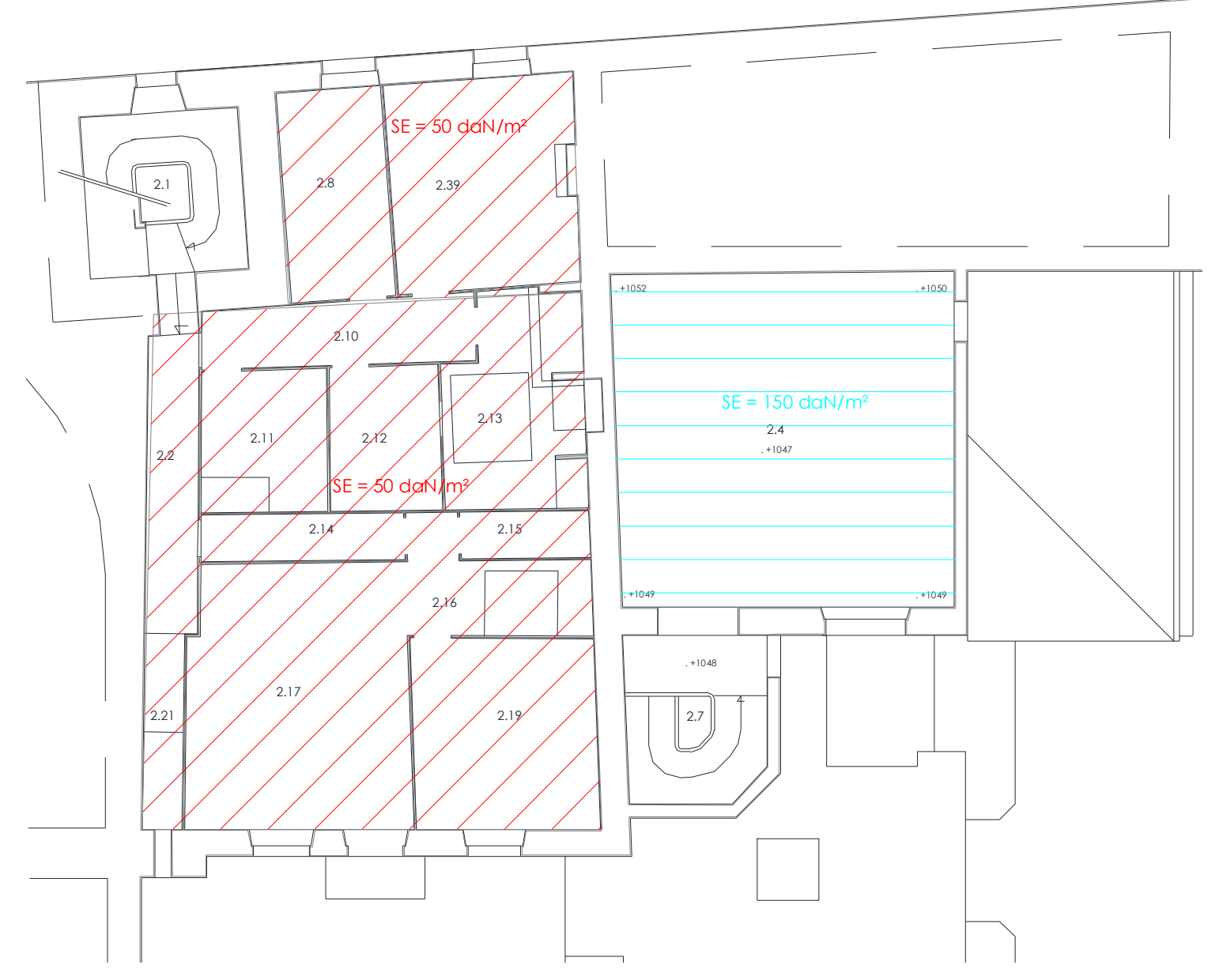


Figure 22 Vue en plan du second étage – Charges d'exploitation admissibles des planchers

Globalement, les capacités portantes des planchers sont relativement faibles. Ces résultats sont corrélés avec les souplesses de plancher et les fissurations des plafonds observées sur site.

Sur le plan sanitaire notre diagnostic ne peut être exhaustif puisque la grande majorité des structures est restée masquée. Plusieurs sondages mettent toutefois en évidence des altérations des bois. Elles se développent principalement au niveau des enfustages sans que cela ne remettent en question la stabilité global ou local.

Les altérations observées sont de type pourriture cubique et petite vrillette. Ces altérations se développent en atmosphère humide et peuvent donc être associées aux défauts d'étanchéité des couvertures (nombreuses traces d'infiltration en plafond des combles), aux dégâts des eaux dans les pièces humides (SdB et toilettes) et aux lavages répétés à grandes eaux.



#### V. DIAGNOSTIC DES PLAFONDS DE L'EGLISE

#### A. Nef de l'église

Les plafonds en caisson de la nef sont suspendus aux charpentes bois traditionnelles. Nous vérifions dans un premier temps les charpentes principales puis les ossatures support des plafonds.

### 1. Charpentes de la nef

La charpente de la nef est composée de fermes traditionnelles dont le schéma statique est le suivant :

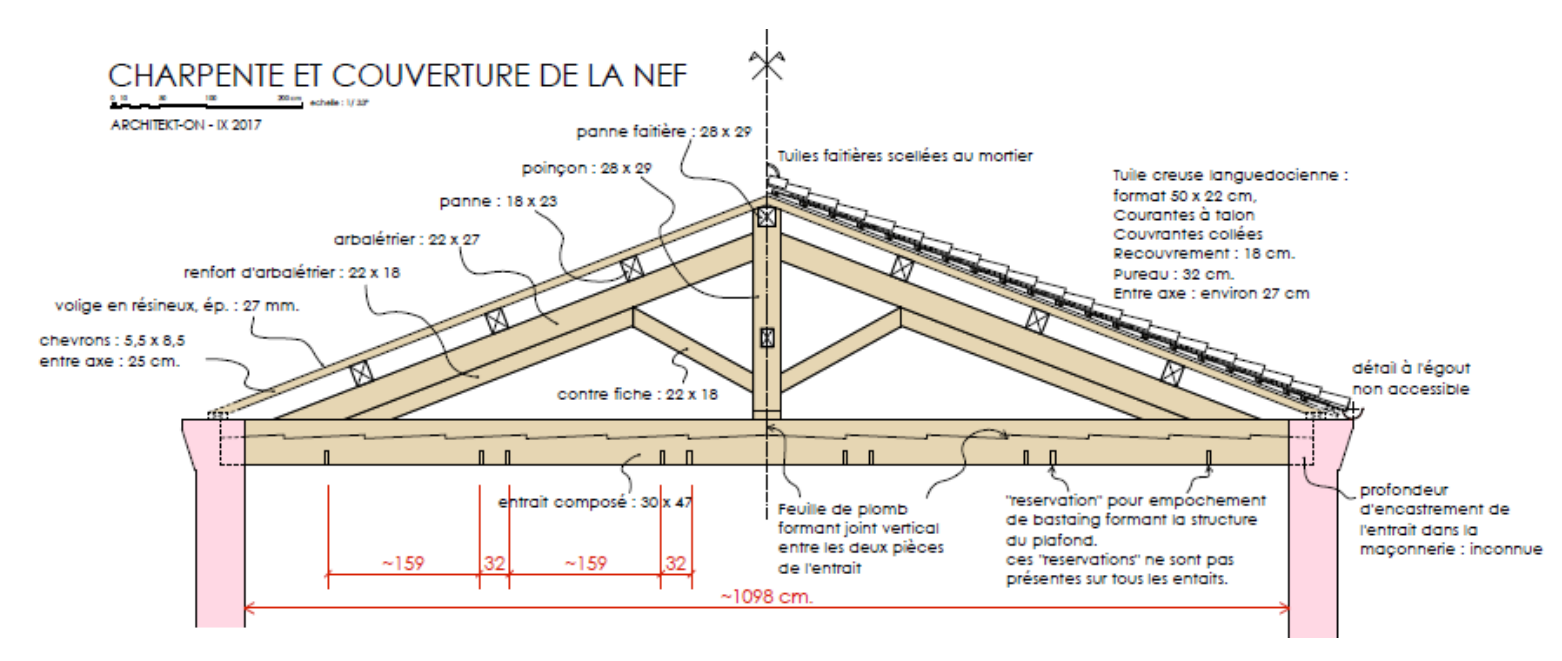


Figure 23 Description d'une ferme courante de la nef (extrait plan architecte)

Les charpentes présentent comme particularité :

- Des poinçons non liés aux entraits,
- Des entraits en poutres armées portant de mur à mur.

Les poutres armées comportent un joint droit central à l'aplomb des poinçons. Il nous semble que ces éléments ont été volontairement dissociés pour que les assemblages des membrures supérieures travaillent toujours en compression (inversion d'effort avec membrure supérieure tendue en cas de suspension de l'entrait au poinçon).





Photo 19 Assemblage poinçon/entrait

Nous retenons les hypothèses de charges suivantes :

### Toiture fermes bas-côtés/nef

| Dé | finitio | on des charges rapportées au m²             | Н    |      | В    |    | Е    |   | d                     |
|----|---------|---|------|------|------|----|------|---|-----------------------|
| G1 | =       | 23 kg/m²: Poids du REVÊTEMENT               | 230  | mm x | 180  | mm | 1,00 | m | 550 kg/m3 Pannes      |
| G2 | =       | 10 kg/m²: Poids du SUPPORT                  | 85   | mm x | 55   | mm | 0,25 | m | 550 kg/m3 Chevrons    |
| G3 | =       | 14 kg/m²: Poids du SUPPORT                  | 25   | mm x | 110  | mm | 0,11 | m | 550 kg/m3 Voliges     |
| G4 | =       | 140 kg/m²: Poids du SUPPORT                 | 1000 | mm x | 1000 | mm | 1,00 | m | 140 kg/m3 Tuile canal |
| G  | =       | 187 kg/m <sup>2</sup> : Total Poids Propres |      |      |      |    |      |   |                       |

### Plafonds bas-côtés/nef

| Dé | finitio | n des charges rapportées au m² | Н   |      | В    |    | Е    |   | d  |
|----|---------|--------------------------------|-----|------|------|----|------|---|--|
| G1 | =       | 30 kg/m²: Poids du REVÊTEMENT  | 25  | mm x | 1000 | mm | 1,00 | m | 1200 kg/m3 Cannisse                        |
| G2 | =       | 17 kg/m²: Poids du SUPPORT     | 80  | mm x | 150  | mm | 0,40 | m | 550 kg/m3 Bastaings, ossature secondaire   |
| G3 | =       | 3 kg/m²: Poids du SUPPORT      | 150 | mm x | 40   | mm | 1,00 | m | 550 kg/m3 Traverses, ossatures principales |
| G4 | =       | 2 kg/m² : Poids du SUPPORT     | 10  | mm x | 400  | mm | 0,50 | m | 300 kg/m3 Décors cartons peints            |
| G  | =       | 52 kg/m² : Total Poids Propres |     |      |      |    |      |   |  |





Les entraits ont une section globale de 30 x 47 cm ht mais s'agissant de poutres assemblées mécaniquement, nous réduisons l'inertie de cette pièce par application de l'annexe B de l'Eurocode 5 :

|                         |               | Sections recta | ngulaires               |                  |
|-------------------------|---------------|----------------|-------------------------|------------------|
|                         |               |                |                         |                  |
| Section inférieure (mm) |               |                | Section supérieure (mm) |                  |
| b                       | 300           |                | b                       | 300,00           |
| h                       | 300           |                | h                       | 170,00           |
| Α                       | 90 000        |                | A                       | 51 000,00        |
| cdg                     | 150           |                | cdg                     | 85,00            |
| Soy                     | 13 500 000    |                | Soy                     | 19 635 000,00    |
| loy                     | 2 700 000 000 |                | loy                     | 7 682 300 000,00 |
| 12                      | 675 000 000   |                | l1                      | 122 825 000,00   |

Calcul d'inertie global

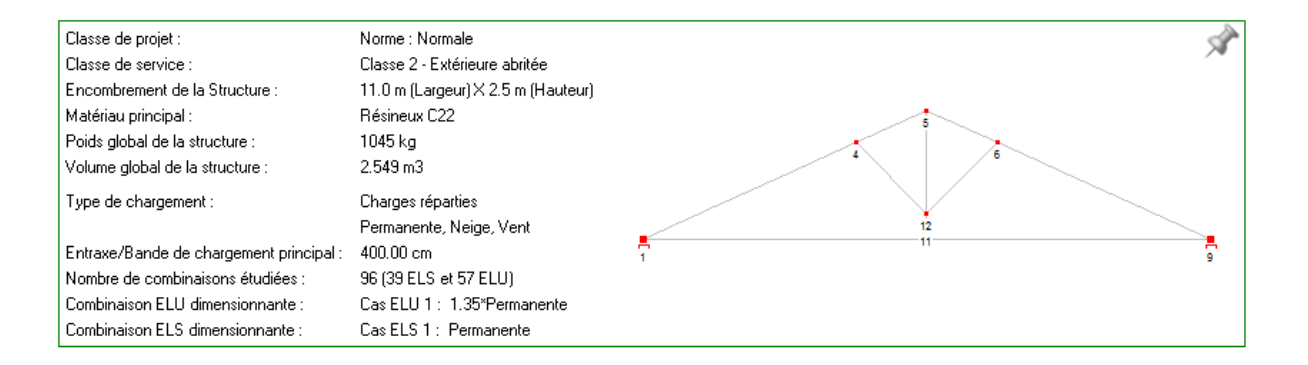
| Aire totale | Soy        | Zg  | loy            | Igy           |
|-------------|------------|-----|----------------|---------------|
| 141000      | 33 135 000 | 235 | 10 382 300 000 | 2 595 575 000 |

| ELS     |                    | ELU                |
|---------|--------------------|--------------------|
| Gamma 1 | 0,15554341         | 0,10936599         |
| a2      | 19,04              | 13,71              |
| a1      | 215,96             | 221,29             |
| (EI)ef  | 12 004 235 676 229 | 10 878 759 421 470 |
| lef     | 1 200 423 568      | 1 200 423 568      |

La section des entraits est donc ramenée à 30 x 36 cm ht.

La mise au calcul d'une ferme type donne :





|                 |     |            | El          | .U <del></del> U. |              |          |          |          |          |            |                       |
|-----------------|-----|------------|-------------|-------------------|--------------|----------|----------|----------|----------|------------|-----------------------|
|                 |     | Flexion    | Flexion     | Traction          |              |          | Flèches* | —— ELS — | Déplac   | ements*    | Critère               |
| Pièces          | ATF | Comp/Tract | Déversement | Transversale      | Cisaillement | Wnet,fin | Winst,Q  | W2       | Vertical | Horizontal | Dimensionnant         |
| ⊟… Arbalétrier  |     |            |             |                   |              |          |          |          |          |            |                       |
| 1/5             | -   | 83% 🗸      |             |                   | 36% ✓        | 53% 🗸    | 28% 🗸    | 67% 🗸    | 14% 🗸    |            | √ Flexion +C/T        |
| 5/9             | -   | 83% 🗸      |             |                   | 36% 🗸        | 63% 🗸    | 31% 🗸    | 93% 🗸    | 14% 🗸    |            | √ Flèche de 2nd oeuv  |
| ∃ Entrait       |     |            |             |                   |              |          |          |          |          |            |                       |
| 1/9             | -   | 93% 🗸      |             |                   | 22% ✓        | 138%×    |          | 72% ✓    | 0% 🗸     |            | × Flèche résultante   |
| ∃ Poinçon       |     |            |             |                   |              |          |          |          |          |            |                       |
| 11/5            |     | 13% 🗸      |             |                   |              | 0% 🗸     |          |          | 15% 🗸    |            | √ Déplacement Vertic  |
| ∃… Contre-Fiche | 9   |            |             |                   |              |          |          |          |          |            | •                     |
| 4/12            | ٠.  | 18% 🗸      |             |                   | 0% 🗸         | 1% ✓     |          |          | 17% ✓    |            | √ Flexion +C/T        |
| 12/6            |     | 18% 🗸      |             |                   | 0% 🗸         | 1% 🗸     |          |          | 25% 🗸    |            | ✓ Déplacement Vertice |

<sup>\*</sup> Flèches : Taux de référence des flèches (Voir Définition Barres)

SYNTHESE ELÈCHES SUB PIÈCES , ANALYSE TRAVEES DIMENSIONNANTES (cm)

VÉRIFICATION des CONTRAINTES, FLÈCHES ET DÉPLACEMENTS

<sup>\*</sup> Déplacements : Vertical - Taux en référence aux déplacements max verticaux 1/300 de la portée (Voir configuration) Horizontal - Taux en référence aux déplacements max des têtes de poteaux 1/150 de leur hauteur (Voir configuration)

|                        | r⊟————<br>Wnet.fin | Flèche r<br>/Limite*                         | ésultante finale ——<br>Travée (Ig) | Cas + Déf                     | r⊟———<br>Winst.0 |                                    | e instantanée ———<br>Travée (la)   | Cas + Déf                      | -⊟—<br>₩2      | Flèche<br>/Limite*             | 2nd oeuvre ———<br>Travée (la)      |
|------------------------|--------------------|--|------------------------------------|-------------------------------|------------------|------------------------------------|------------------------------------|--------------------------------|----------------|--------------------------------|------------------------------------|
| ⊟ Arbalétrier          |                    | F00. (4.1000) 4                              |                                    |                               |                  |                                    | (3)                                | 5100000000                     |                | 070.74.1740.                   | (3)                                |
| 1/5<br>5/9             | -1.19<br>-1.43     | 53% (1/380) <b>√</b><br>63% (1/317) <b>√</b> | 1-4 (453.11 cm)<br>6-9 (453.11 cm) | ELS (NR 2) 2<br>ELS (NR 1) 13 | 0.56<br>-0.61    | 28% (<1/999) <li>31% (1/983) </li> | 1-5 (604.15 cm)<br>5-9 (604.15 cm) | ELS (NR 1) 12<br>ELS (NR 1) 13 | -0.61<br>-0.84 | 67% (1/748) √<br>93% (1/536) √ | 1-4 (453.11 cm)<br>6-9 (453.11 cm) |
| ⊟ Entrait<br>1/9       | -7.57              | 138% (1/145)×                                | 1-9 (1100.00 cm)                   | ELS 1                         | 0.00             | 🗸                                  | 0-0 (0.00 cm)                      |                                | -3.37          | 72% (<1/999+25mm) 🗸            | 1-9 (1100.00 cm)                   |
| ⊟ Poinçon<br>11/5      | 0.00               | 🗸  | 11-5 (230.45 cm)                   |                               | 0.00             | 🗸                                  | 0-0 (0.00 cm)                      |                                | 0.00           | 🗸                              | 0-0 (0.00 cm)                      |
| ⊟ Contre-Fiche<br>4/12 | -0.01              | 🗸  | 4-12 (194.45 cm)                   |                               | 0.00             | ✓                                  | 0-0 (0.00 cm)                      |                                | 0.00           | 🗸                              | 4-12 (194.45 cm)                   |
| 12/6                   | -0.01              | ····· ✓                                      | 12-6 (194.45 cm)                   |                               | 0.00             | 🗸                                  | 0-0 (0.00 cm)                      |                                | 0.00           | ····· ✓                        | 12-6 (194.45 cm)                   |

<sup>\*</sup> Flèches : Taux de référence des flèches (Voir Définition Barres)

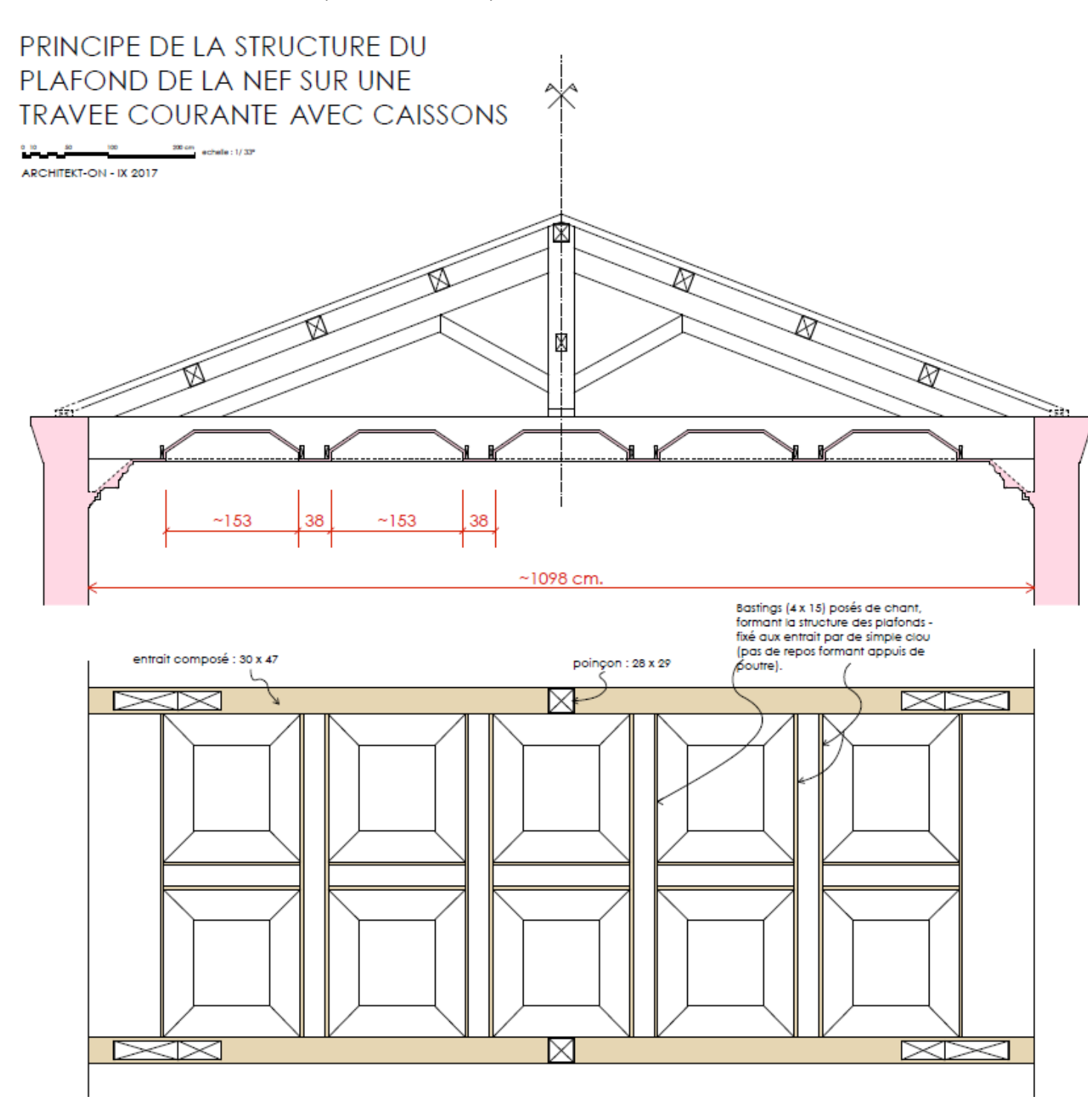
Les fermes apparaissent suffisamment dimensionnées pour reprendre les charges de couvertures mais très juste dimensionnées pour reprendre les charges de plafonds. Nous calculons pour les entraits un taux de contrainte de 93% et taux de flèche de 138% avec une déformation 7,5 cm centrée.

Cette déformation est difficile à corréler avec les relevés sur site puisque nous ne connaissons pas les jeux d'assemblage poinçon/entrait à la construction. Il est toutefois probable que l'ensemble ait fléchi dans le temps participant ainsi à la désorganisation des plafonds.



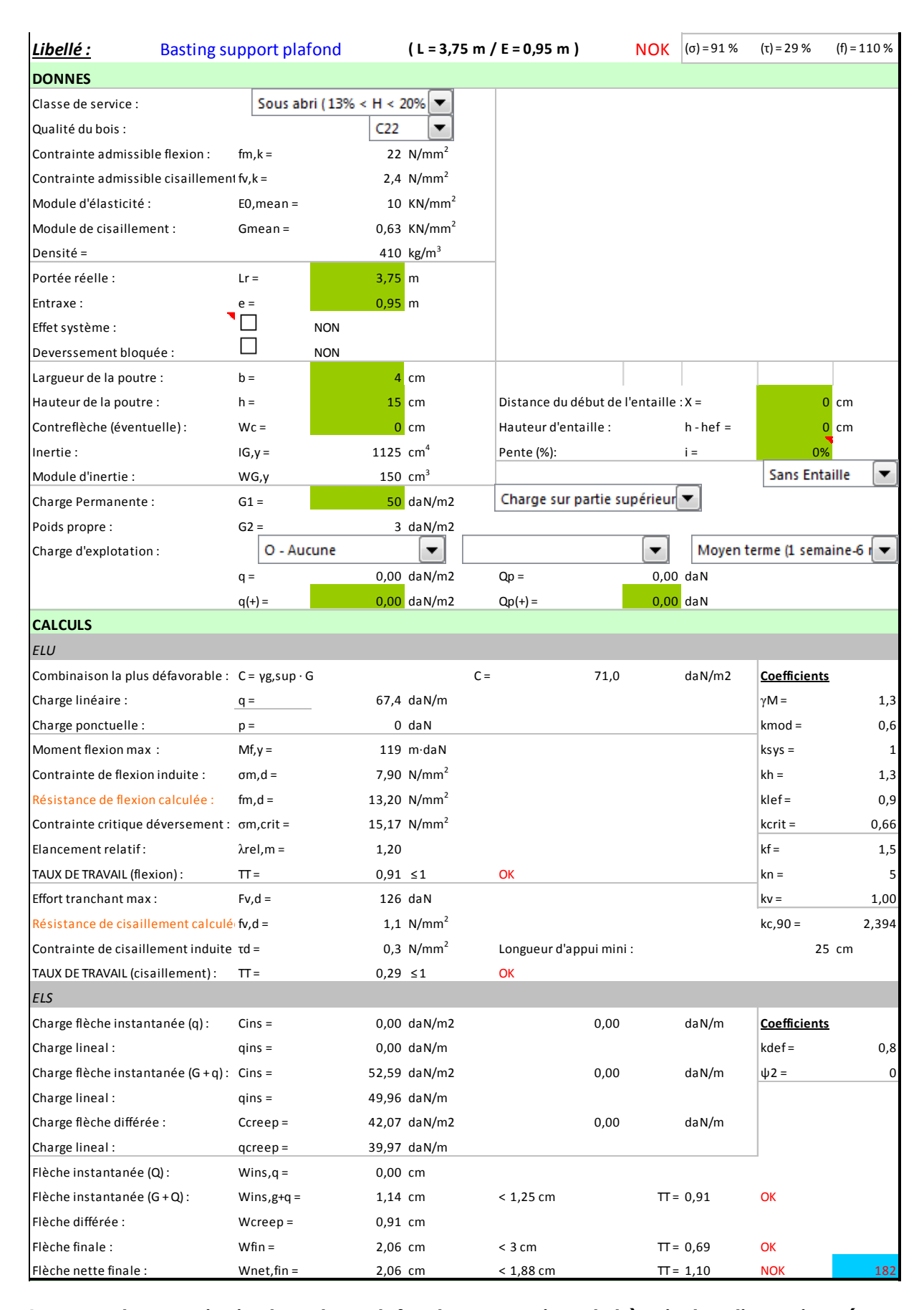
### 2. Ossatures support des plafonds

Les relevés architectes précisent les dispositions de ces ossatures.



La mise au calcul des bastings support des plafonds donne :





Les ossatures principales des plafonds apparaissent très juste dimensionnées en contrainte et en flèche. Les réactions d'appui sont de l'ordre de 126 daN ELU.



### B. Bas-côtés

De la même manière que pour la nef, les plafonds en caisson sont suspendus aux charpentes bois traditionnelles.

### 1. Charpentes des bas-côtés

La charpente des bas-côtés est composée de demies fermes reposant sur des murs maçonnés (voir figure ci-dessous).

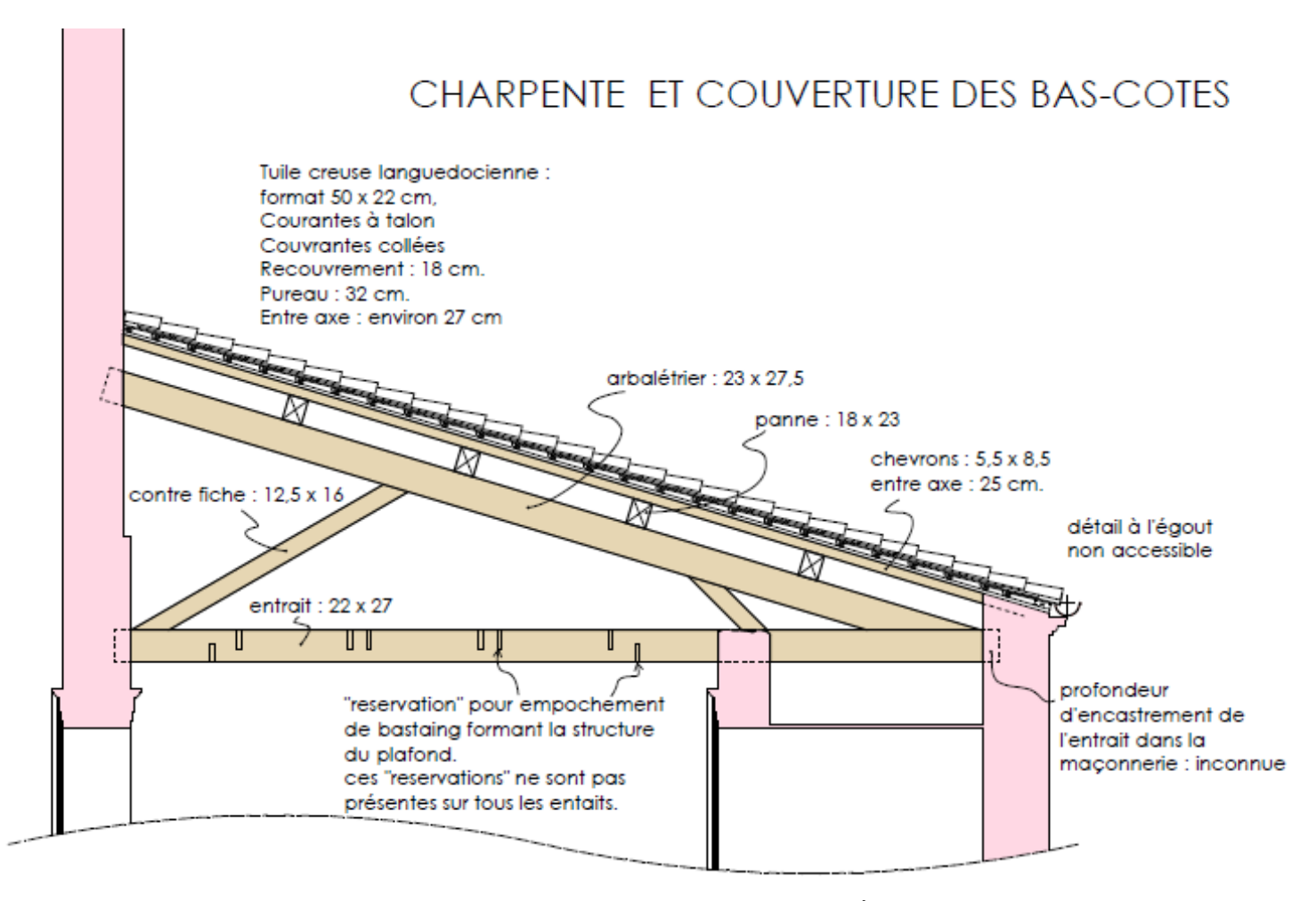


Figure 24 Description d'une demi-ferme courante de bas-côté (extrait plan architecte)

Les charges en présence sont identiques à celle de la charpente de la nef.

La mise au calcul des demi-fermes donne :



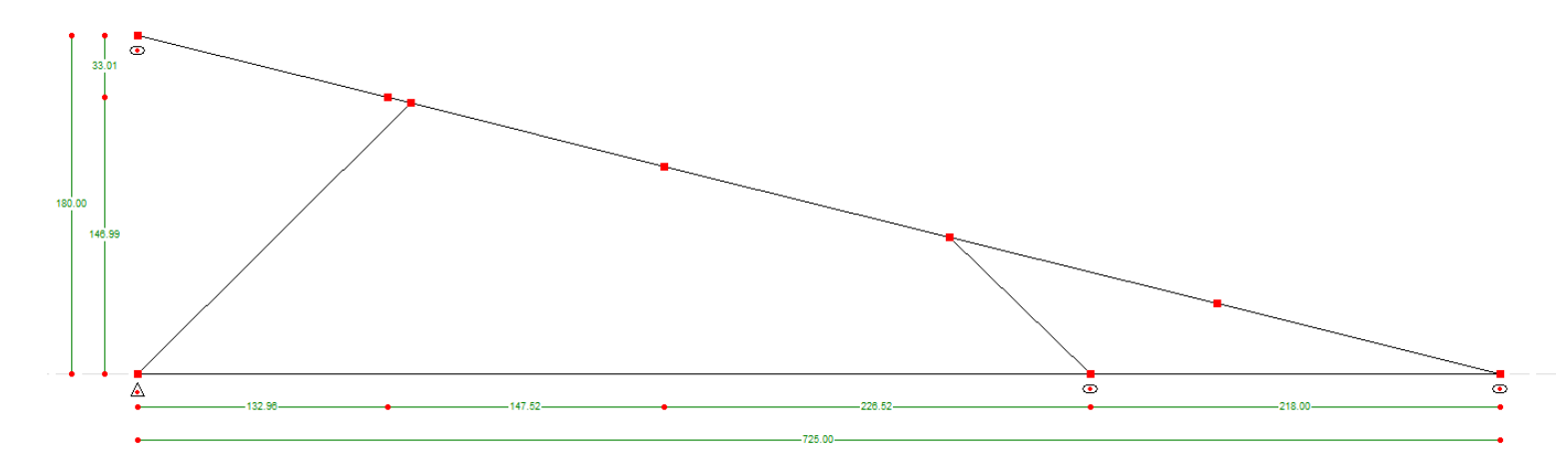


Figure 25 Schéma statique étudié



Photo 20 Appui d'une demi-ferme sur les refends du bas-côté

La mise au calcul du système étudié nous donne :



Classe de projet : Norme: Normale Classe de service : Classe 1 - Intérieure Encombrement de la Structure : 7.2 m (Largeur) × 1.8 m (Hauteur) Matériau principal : Résineux C22 Poids global de la structure : 396 kg Volume global de la structure : 0.965 m3 Type de chargement : Charges réparties Permanente, Neige, Vent Entraxe/Bande de chargement principal: 400.00 cm Nombre de combinaisons étudiées : 16 (8 ELS et 8 ELU) Combinaison ELU dimensionnante : Cas ELU 1: 1.35\*Permanente Combinaison ELS dimensionnante : Cas ELS 10: Permanente + Neige

| Pièces ATF                       | Flexion<br>Comp/Tract | Flexion Déversement | U Traction Transversale | Cisaillement | Wnet_fin     | Flèches*<br>Winst,Q | —— ELS —<br><b>W2</b> | Déplac<br>Vertical | ements* | Critère<br>Dimensionnant      |  |  |
|----------------------------------|-----------------------|---------------------|-------------------------|--------------|--------------|---------------------|-----------------------|--------------------|---------|-------------------------------|--|--|
| ⊟… Arbalétrier<br>1/7 (CT) -     | 35% ✓                 |                     |                         | 36% ✓        | 19% 🗸        | 4% ✓                | 22% 🗸                 | 0% 🗸               |         | ✓ Cisaillement                |  |  |
| ⊟ Entrait<br>8/7 (CT) -          | 34% ✓                 |                     |                         | 20%√         | 21% 🗸        |                     | 20% 🗸                 | 0% 🗸               |         | ✓ Flexion +C/T                |  |  |
| ⊡ Contre-Fiche<br>5/9 -<br>8/3 - | 39% √<br>23% √        |                     |                         | 0% √<br>1% √ | 0% ✓<br>1% ✓ |                     |                       | 10% √<br>4% √      |         | ✓ Flexion +C/T ✓ Flexion +C/T |  |  |



## 2. Ossatures support des plafonds des bas-côtés

Les dispositions sont proches de celles observées sur la nef :

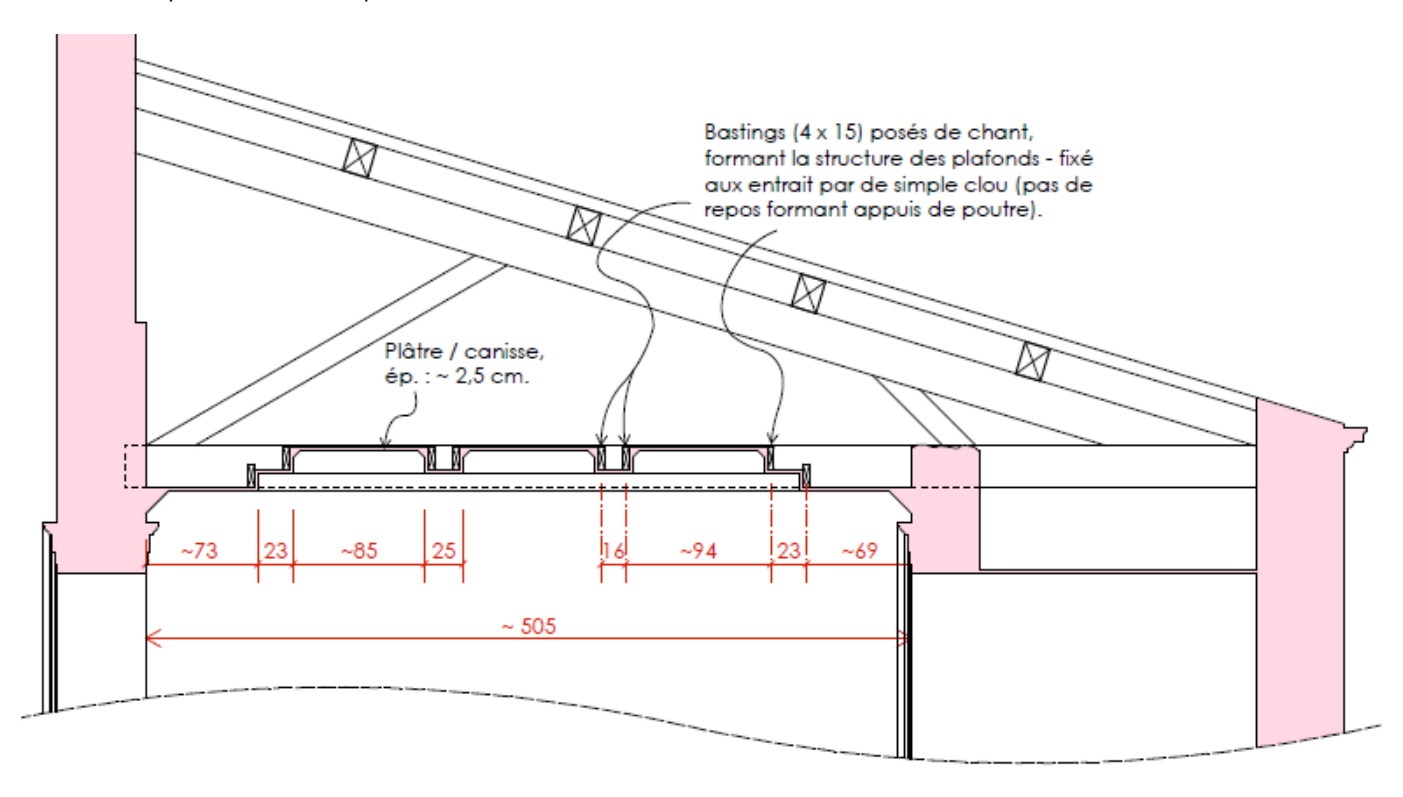


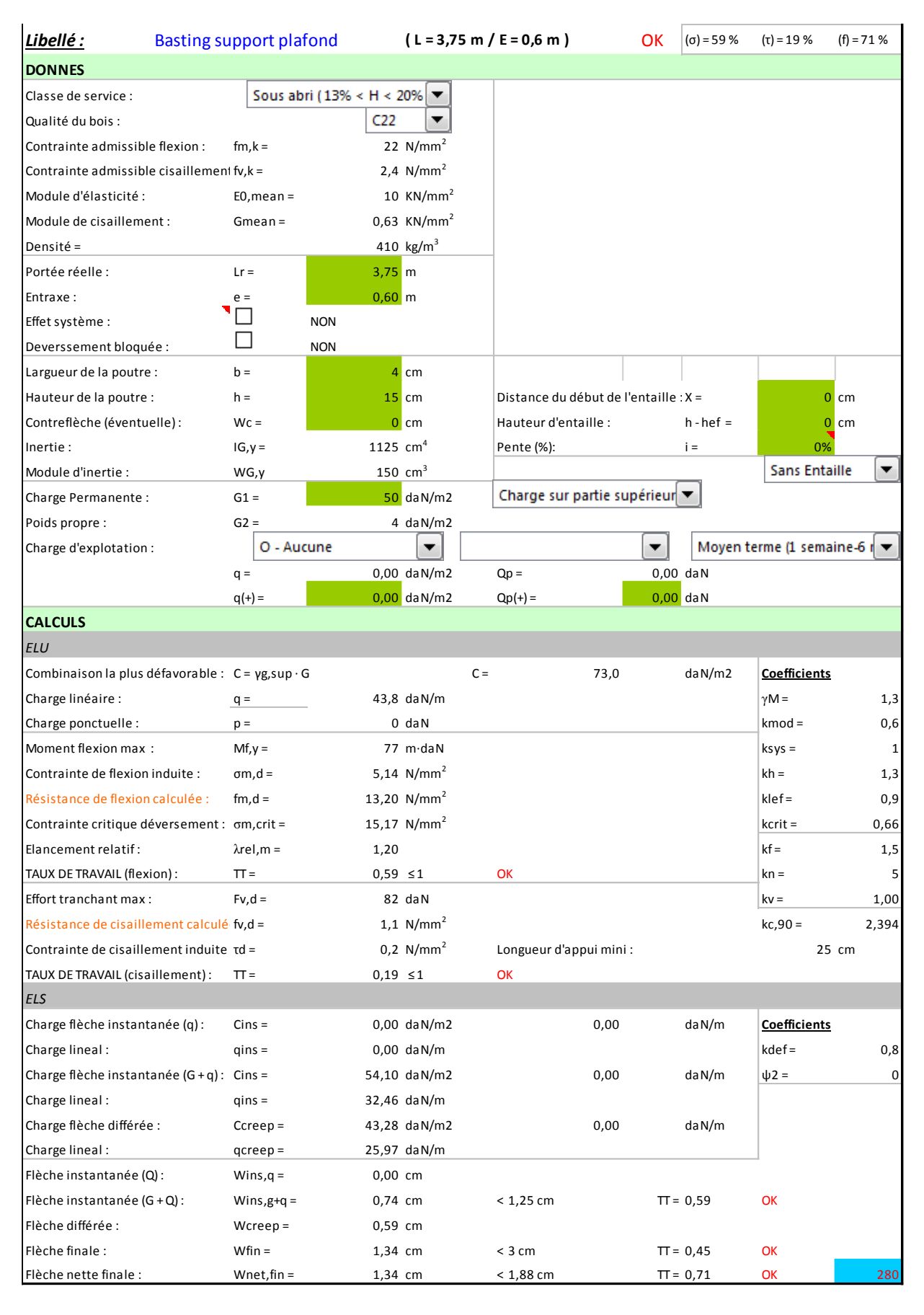


Photo 21 Vue des ossatures des plafonds des bas-côtés





## La mise au calcul des bastaings portant de ferme à ferme donne :





Ces ossatures apparaissent correctement dimensionnées pour reprendre les charge en présence.

Notons que les premières et les dernières travées des bas-côtés comportent des plafonds losangés et que les ossatures supports sont bien moins nombreuses que pour les plafonds courants.

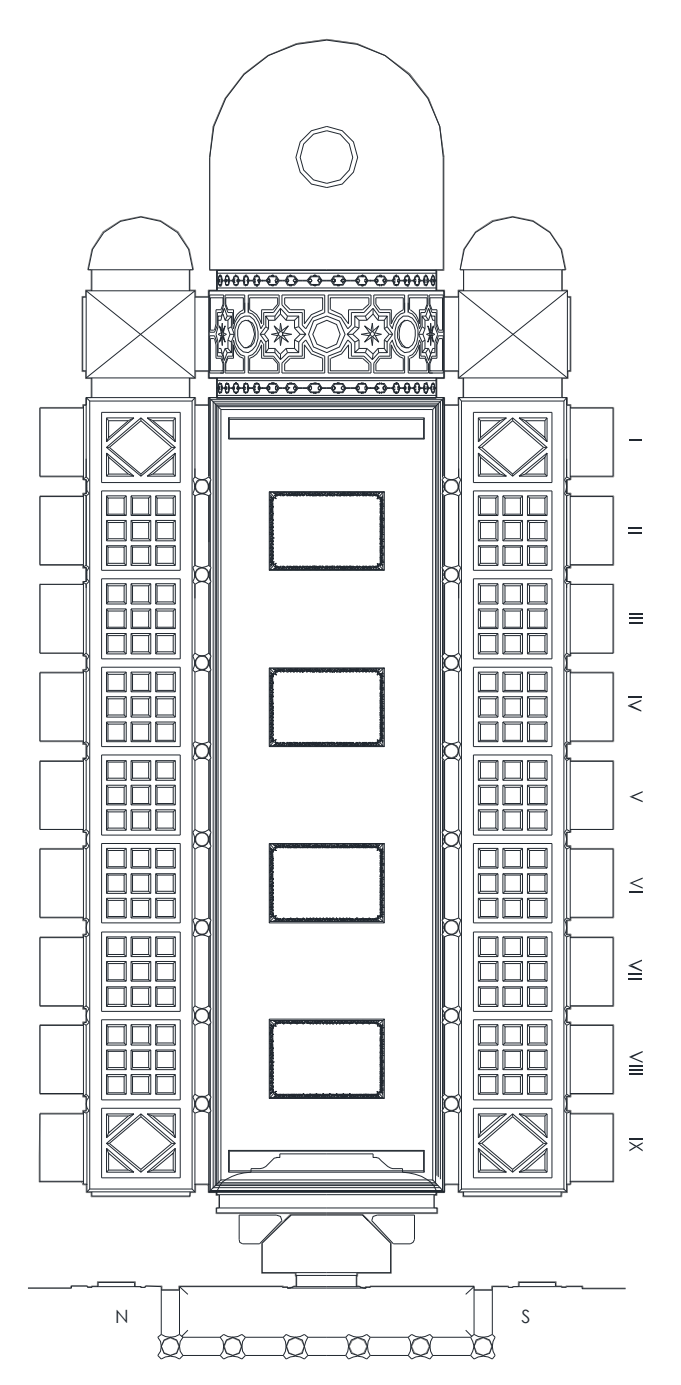


Figure 26 Vue en plan des plafonds de l'église



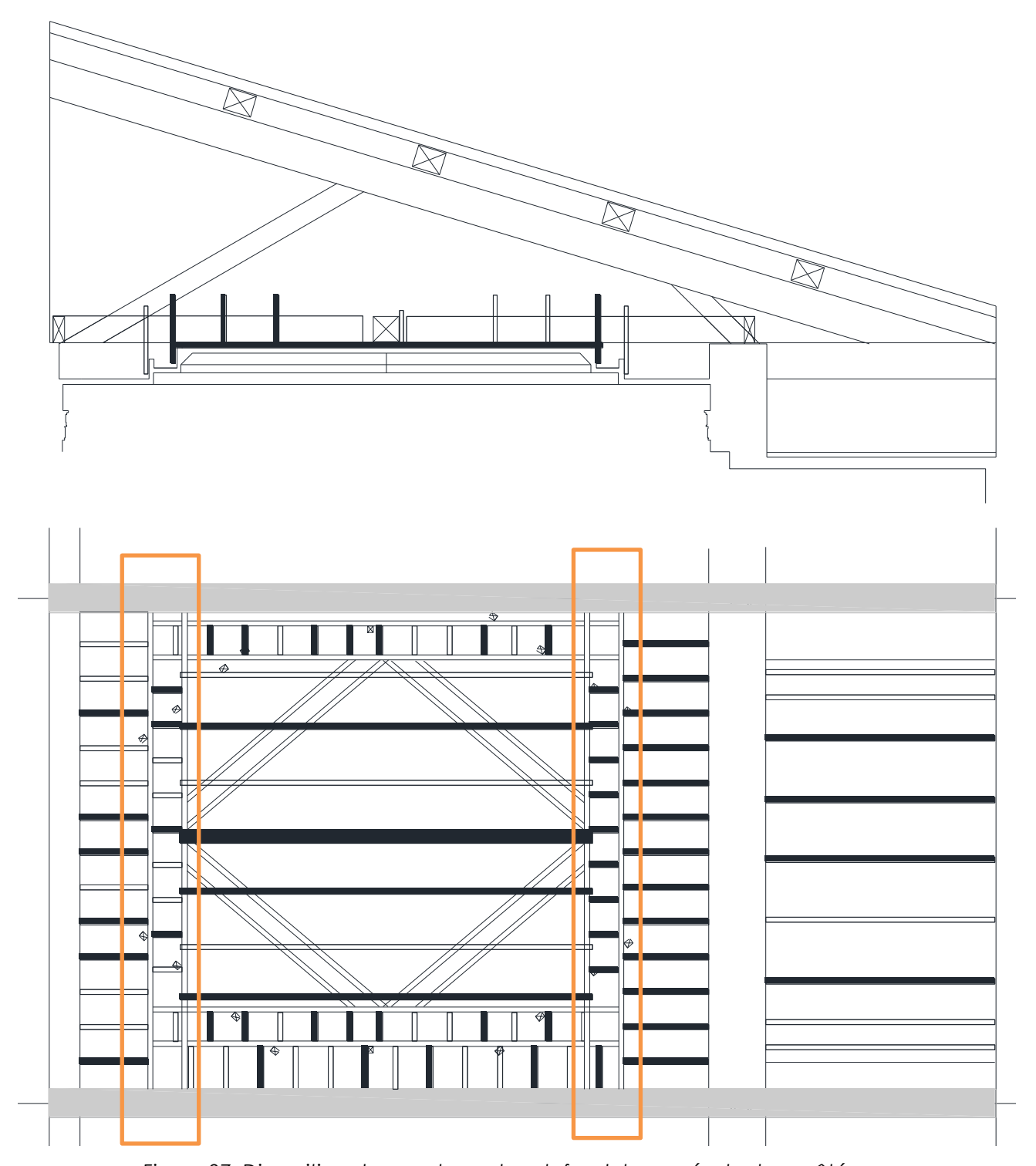


Figure 27 Disposition des ossatures des plafonds losangés des bas-côtés

Sur ces plafonds, les porteurs de ferme à ferme sont 2 fois moins nombreux (4 contre 8 pour les travées courantes) avec des charges qui restent inchangées.

Les bastings 4 x 15 cm ht apparaissent alors sous dimensionnés en contrainte et en flèche.

Les réactions d'appui sont de l'ordre de 210 daN ELU.



### C. Synthèse du diagnostic

Les fermes de la nef et des bas-côtés apparaissent correctement dimensionnées pour reprendre les charges des couvertures.

Les entraits de la nef jouent le rôle de tirant vis-à-vis des fermes et ils travaillent en flexion simple entre les murs gouttereaux vis-à-vis des plafonds. Ils apparaissent très juste dimensionnés pour reprendre ces dernières charges.

La déformation de ces structures a pu participer à la désorganisation des décors en plafonds. Compte tenu de l'âge de l'ouvrage les fluages ont déjà opéré et les déformations observées ne devrait plus évoluer. Le projet de restauration devra éviter de recharger ces structures.

Les ossatures principales des plafonds qui portent d'entrait à entrait apparaissent correctement dimensionnées pour les travées courantes des bas-côtés, juste dimensionnées pour les travées de la nef et insuffisamment dimensionnées pour les plafonds losangés des bas-côtés.

Ces insuffisances peuvent être à l'origine de déformations dans les décors des plafonds.

L'effondrement du plafond du bas-côté Nord ayant motivé ce diagnostic, trouve toutefois son origine dans la rupture d'un appui de l'ossature principale d'un plafond losangé. Il met en relief un défaut généralisé des appuis de ces ossatures, aussi bien sur les bas-côtés que sur la nef. En effet, les bastings porteurs 4 x 15 cm ht sont cloués et insérer dans des entailles réalisées dans les entraits. Ces entailles ne comprennent étrangement pas de talon ce qui fait qu'il n'y a pas de reports de charges directes. L'entaille joue plutôt le rôle de maintien latéral et de guide mais ne participe pas à la reprise des charges verticales (voir photographies suivantes).





Photo 22 Appuis des bastings support des plafonds









Photo 23 Conséquence du glissement d'assemblage de l'un des deux supports d'extrémités Les dispositions observées sont clairement insuffisantes.



#### VI. ORIENTATION DU PROJET DE CONSOLIDATION

#### A. <u>Planchers du Presbytère</u>

Les planchers apparaissent globalement sous dimensionnés et localement en mauvais état.

Le plancher sinistré peut faire l'objet de réparations comprenant :

- Dépose généralisée des tomettes, marins et enfustage pour inspection, purges et traitement des bois,
- Reconstitution, remplacement et doublement des porteurs bois altérés,
- Reconstitution du complexe de plancher traditionnel.

Pour les autres planchers, le diagnostic ne met pas en évidence de risques imminents d'instabilités. Leur mise en conformité reste au choix du maître d'ouvrage. Le programme de travaux à envisager sera similaire aux réparations précédentes avec des parts de renforcement plus lourdes (section des nouvelles poutres en remplacement/doublement plus forte, voir mise en œuvre de profilés métalliques suivant les charges d'exploitation souhaitées par le maître d'ouvrage).

#### B. Charpentes de l'église

De manière général, les structures support des plafonds de l'église sont fragiles et très juste dimensionnées. Le projet ne devra pas recharger les structures en présence. Il devra au contraire réduire les charges lorsque cela est possible (remplacement des planchers des combles du bas-côté Sud par un plancher sur ossature secondaire portant d'entrait à entrait).

Les travaux de réparation doivent régler les problèmes d'appui des ossatures principales des plafonds. Nous préconisons la mise en œuvre d'équerres métalliques clouées ou vissées sur les entraits.

Les ossatures des plafonds losangés doivent être reprise en sous œuvre par un système de poutres bois en allège à l'instar des structures mise en œuvre en travaux de mise en sécurité courant septembre 2017.

Nous n'observons pas de désordres particuliers sur les autres parties de charpente si ce n'est une réparation malheureuse d'about de panne altéré par contrefiche métallique (voir photographie suivante). Ce bricolage induit des efforts horizontaux parasites en pied et en tête de console, il ne peut être que provisoire.





Photo 24 About de panne altéré reprise en sous œuvre par console métallique

Nous préconisons d'assainir la structure en déposant la console et en réparant l'about de pannes par moisage ou par reconstitution des bois au mortier de résine.